

# Zapiski predavanj iz Digitalnega procesiranja signalov

Predaval: Dušan Kodek

18. januar 2000

## Kazalo

<b>0</b>	<b>Uvod</b>	<b>3</b>
<b>1</b>	<b>Teorija diskretnih, linearnih, časovno-invariantnih sistemov</b>	<b>3</b>
1.1	Osnovni izrek za linearne, časovno-invariantne sisteme . . . . .	4
1.2	Sistemi, ki so podani z diferenčnimi enačbami . . . . .	5
1.3	Z-transformacija . . . . .	6
1.4	Lastnosti Z-transformacije . . . . .	6
1.5	Frekvenčni odziv diskretnega sistema . . . . .	7
1.6	Fourierove "transformacije" . . . . .	8
1.7	Vzorčenje . . . . .	9
1.8	Izrek o jemanju vzorcev . . . . .	10
1.9	Predstavitev signalov z ortogonalnimi funkcijami . . . . .	11
1.10	Strukture za realizacijo diskretnih sistemov . . . . .	12
<b>2</b>	<b>Metode za načrtovanje digitalnih filtrov s končnim enotnim odzivom (KEO)</b>	<b>16</b>
2.1	KEO digitalni filtri z linearno fazo . . . . .	18
2.2	Načrtovanje z uporabo okenskih funkcij . . . . .	21
2.2.1	Gibsov pojav . . . . .	21
2.2.2	Okenke funkcije . . . . .	22
2.3	Načrtovanje z uporabo frekvenčnega vzorčenja . . . . .	22
2.4	Načrtovanje optimalnih KEO filtrov z linearno fazo . . . . .	23
2.4.1	Kriterij optimalnosti . . . . .	24
2.4.2	Alternacijski izrek . . . . .	24
2.4.3	Algoritem za določanje koeficientov $\alpha(k)$ . . . . .	25
2.4.4	Remezov algoritem . . . . .	26
2.4.5	Splošen postopek načrtovanja filtrov . . . . .	26
<b>3</b>	<b>Metode za načrtovanje digitalnih filtrov z neskončnim enotnim odzivom (NEO filtri, IIR)</b>	<b>27</b>
3.1	Načrtovanje z uporabo preslikave analognih filtrov . . . . .	28
3.2	Preslikava z bilinearno transformacijo . . . . .	30
3.3	Filtrske transformacije . . . . .	31
3.4	Načrtovanje s Padejevo aproksimacijo . . . . .	32
3.5	Načrtovanje z uporabo nelinearne optimizacije . . . . .	32
3.6	Načrtovanje z uporabo lineranega programiranja ( <i>simplex</i> algoritem) . . . . .	33

<b>4</b>	<b>Decimacija in interpolacija</b>	<b>34</b>
4.1	Decimacija . . . . .	34
4.2	Interpolacija . . . . .	34
<b>5</b>	<b>FFT algoritem in njegova uporaba</b>	<b>36</b>
5.1	Radix 2 algoritem, decimacija v času . . . . .	37
5.2	Radix 4 algoritem . . . . .	39
5.3	Računanje inverzne DFT . . . . .	40
5.4	Računanje DFT za realna zaporedja . . . . .	40
5.5	Hitro računanje konvolucije . . . . .	41
5.5.1	Periodična zaporedja . . . . .	41
5.5.2	Neperiodična zaporedja . . . . .	42
5.5.3	Hitra konvolucija po odsekih . . . . .	42
<b>6</b>	<b>Križna korelacija in avtokorelacija</b>	<b>44</b>
6.1	Avtokorelacija . . . . .	44
6.2	Hitro računanje korelacije . . . . .	44
6.2.1	Periodična zaporedja . . . . .	44
6.2.2	Končno dolgi neperiodični zaporedji $x, y$ . . . . .	45
6.3	Detekcija signala v šumu . . . . .	45
<b>7</b>	<b>Spektralna analiza</b>	<b>46</b>
7.1	Problem okna . . . . .	47
7.2	Neparametrične metode za določanje spektra . . . . .	48
7.3	Parametrične metode za določanje spektra . . . . .	49
7.4	Primerjava LP spektra z neparametričnim spektrom . . . . .	52

## 0 Uvod

Literatura:

- John G. Proakis, Dimitris G. Manolakis: *Digital Signal Processing: Principles, Algorithms and Applications*, 3<sup>rd</sup> edition, Prentice Hall, 1995
- L.R. Rabiner, B. Gold: *Theory and Applications of Digital Signal Processing*, Prentice Hall, Englewood Cliffs, 1975

Osnovni pojmi:

- Signal (lat. *signum*) je nekaj, kar služi za prenos informacij; optični, električni, ...
- Načini obdelave signalov:
  - analogni: občutljivi na toploto, staranje, vlago
  - digitalni: matematična natančnost

Učni načrt:

1. Teorija diskretnih, linearnih, časovno-invariantnih sistemov
2. Digitalni filtri; dve vrsti:
  - (a) KEO (*FIR – finite impulse response*)
  - (b) NEO (*IIR – infinite impulse response*)
3. DFT in FFT algoritem
4. Spektralna analiza; spekter  $\equiv$  Fourierova analiza signalov

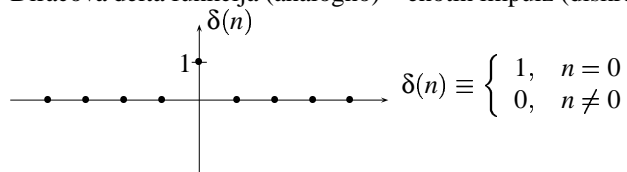
## 1 Teorija diskretnih, linearnih, časovno-invariantnih sistemov



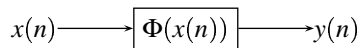
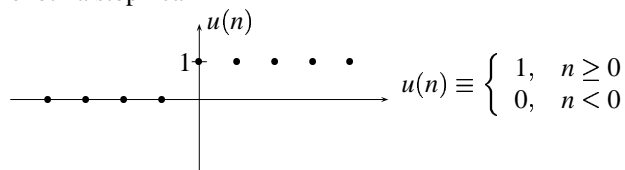
Signale predstavimo z zaporedji:

$$\begin{array}{ll} x(n), n = 0, \pm 1, \pm 2, \dots & \text{– diskretni signal} \\ x(t) & \text{– analogni signal} \end{array}$$

- Diracova delta funkcija (analogno) – enotin impulz (diskretno)



- enotina stopnica



$$y(n) = \Phi[x(n)]$$

- Linearen sistem:

$y_1(n)$  odziv na  $x_1(n)$

$y_2(n)$  odziv na  $x_2(n)$

$ax_1(n) + bx_2(n) \rightarrow ay_1(n) + by_2(n) \iff$  sistem je linearen

- Časovno invarianten sistem:

$y(n)$  odziv na  $x(n)$

$x(n - n_0) \rightarrow y(n - n_0), n_0 \in \mathbb{Z} \iff$  sistem je časovno invarianten

Bolj splošen termin (ko  $n$  ni čas): invariantnost na pomik.

## 1.1 Osnovni izrek za linearne, časovno-invariantne sisteme

$\delta(n) \rightarrow$  [ ]  $\rightarrow h(n)$  – odziv na enotin impulz

$x(n) \rightarrow$  [  $h(n)$  ]  $\rightarrow y(n)$

$$y(n) = \sum_{m=-\infty}^{+\infty} x(m)h(n-m) = \sum_{m=-\infty}^{m=+\infty} h(m)x(n-m)$$

Dokaz:

$$x(m) = x(n)\delta(n-m), \quad n = 0, \pm 1, \pm 2, \dots$$

$$x(m+1) = x(n)\delta(n-(m+1)), \quad n = 0, \pm 1, \pm 2, \dots$$

$$x(m+2) = x(n)\delta(n-(m+2)), \quad n = 0, \pm 1, \pm 2, \dots$$

$$x(m) = \sum_{n=-\infty}^{+\infty} x(n)\delta(n-m), \quad m = 0, \pm 1, \pm 2, \dots$$

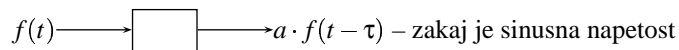
odziv:

$$\left. \begin{array}{l} x(m)h(n-m) \\ x(m+1)h(n-(m+1)) \\ x(m+2)h(n-(m+2)) \end{array} \right\} \text{zaradi linearnosti in časovne inv.}$$

$$\sum_{m=-\infty}^{+\infty} x(m)h(n-m)$$

**Q.E.D.**

Lastna funkcija:



Lastnosti sistemov:

- Stabilnost sistema: na končni vhod dobimo končni izhod  
Potreben in zadostni pogoj za stabilnost:

$$\sum_{n=-\infty}^{+\infty} |h(n)| < \infty$$

Dokaz:

– potrebnost:

$$\sum_{n=-\infty}^{+\infty} |h(n)| = \infty, \quad x(n) = \begin{cases} +1, & h(-n) \geq 0 \\ -1, & h(-n) < 0 \end{cases}$$

$$y(0) = \sum_{m=-\infty}^{+\infty} x(m)h(-m) = \sum_{m=-\infty}^{+\infty} |h(-m)| = \sum_{m=-\infty}^{+\infty} |h(m)| = \infty$$

– zadostnost:

$$|x(n)| \leq M$$

$$|y(n)| = \left| \sum_{m=-\infty}^{+\infty} x(m)h(n-m) \right| \leq \sum_{m=-\infty}^{+\infty} |x(m)||h(n-m)| \leq M \sum_{m=-\infty}^{+\infty} |h(n-m)| < \infty$$

**Q.E.D.**

- Kavzalnost sistema: posledica ni pred vzrokom

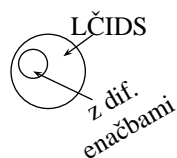
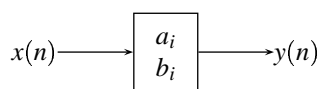
Če je  $h(n) = 0$  za  $n < 0 \Rightarrow$  sistem je kavzalen  
ali konstanta???

## 1.2 Sistemi, ki so podani z diferenčnimi enačbami

Diferenčne enačbe:

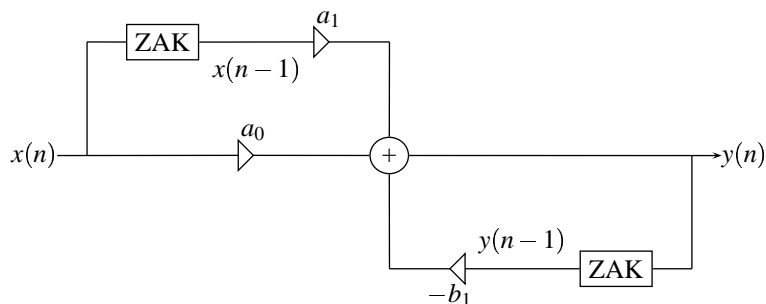
$$\sum_{i=0}^N b_i y(n-i) = \sum_{i=0}^M a_i x(n-i)$$

$$y(n) = \sum_{i=0}^M a_i x(n-i) - \sum_{i=1}^N b_i y(n-i), n \geq 0$$



1. nerekurzivne diferenčne enačbe:  $b_1, b_2, \dots, b_N = 0$
2. rekurzivne diferenčne enačbe: vsaj en  $b_i \neq 0, i = 1..N$

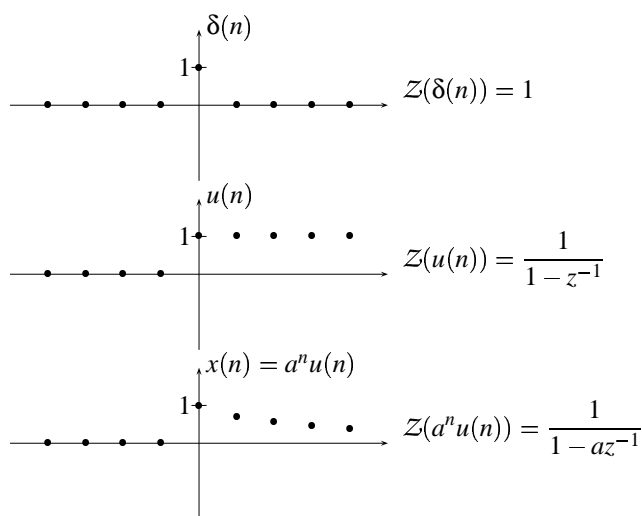
$$y(n) = a_0x(n) + a_1x(n-1) - b_1y(n-1)$$



### 1.3 Z-transformacija

$$X(z) = \sum_{n=-\infty}^{+\infty} x(n)z^{-n}, z \in C$$

$$x(n) = \frac{1}{2\pi j} \oint_C X(z)z^{n-1} dz, j = \sqrt{-1} = i$$



### 1.4 Lastnosti Z-transformacije

1. linearnost:

$$X_1(z) = \sum_{n=-\infty}^{+\infty} x_1(n)z^{-n}$$

$$X_2(z) = \sum_{n=-\infty}^{+\infty} x_2(n)z^{-n}$$

$$Z(ax_1 + bx_2) = aX_1(z) + bX_2(z)$$

2. premik:

$$\mathcal{Z}\{x_1(n-k)\} = z^{-k}X_1(z)$$

3. konvolucija:

$$\begin{aligned} y(n) &= \sum_{m=-\infty}^{+\infty} x(m)h(n-m) \\ Y(z) &= \sum_{n=-\infty}^{+\infty} \sum_{m=-\infty}^{+\infty} x(m)h(n-m)z^{-n} = \\ &= \underbrace{\sum_{m=-\infty}^{+\infty} x(m)z^{-m}}_{X(z)} \underbrace{\sum_{n=-\infty}^{+\infty} h(n-m)z^{-(n-m)}}_{H(z)} = \\ &= X(z) \cdot H(z) \\ H(z) &= \frac{Y(z)}{X(z)} \quad \text{-- prevajalna funkcija} \end{aligned}$$

4. produkt:

$$\begin{aligned} y(n) &= x(n)h(n) \\ \frac{1}{2\pi j} \oint X(u)H\left(\frac{z}{u}\right)u^{-1}du \end{aligned}$$

## 1.5 Frekvenčni odziv diskretnega sistema

$$x(n) = A \cos(\omega_0 n + \Phi) \longrightarrow \boxed{h(n)} \longrightarrow y(n) = A' \cos(\omega_0 n + \Phi')$$

$$y(n) = \sum_{k=-\infty}^{+\infty} h(k)x(n-k)$$

$$x(n) = A \cos(\omega_0 n + \Phi) = \frac{A}{2} e^{j\Phi} e^{j\omega_0 n} + \frac{A}{2} e^{-j\Phi} e^{-j\omega_0 n}$$

$$y(n) = \frac{A}{2} e^{j\omega_0 n} e^{j\Phi} \sum_{k=-\infty}^{+\infty} h(k) e^{-j\omega_0 k} + \frac{A}{2} e^{-j\omega_0 n} e^{-j\Phi} \sum_{k=-\infty}^{+\infty} h(k) e^{j\omega_0 k}$$

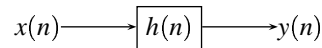
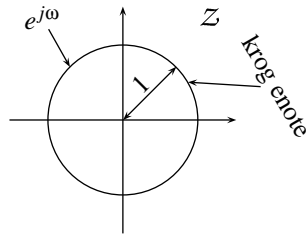
$$\boxed{H(e^{j\omega}) \equiv \sum_{k=-\infty}^{+\infty} h(k) e^{j\omega k} = |H(e^{j\omega})| e^{j\Theta(e^{j\omega})}} \quad \text{-- frekvenčni odziv sistema}$$

Dokaz, da je sinusoidalna funkcija lastna funkcija diskretnih, linearnih, časovno-invariantnih sistemov:

$$y(n) = A |H(e^{j\omega_0})| \cos(\omega_0 n + \Phi + \Theta(e^{j\omega_0}))$$

Frekvenčni odziv:  $\mathcal{Z}$ -transformacija izračunana na krogu enote (na enotski krožnici):

$$X(z)|_{z=e^{j\omega}} = X(e^{j\omega}) = \sum_{k=-\infty}^{+\infty} x(k) e^{-j\omega k}$$



$$Y(z) = H(z)X(z)$$

$$Y(e^{j\omega}) = H(e^{j\omega})X(e^{j\omega}), \quad H(e^{j\omega}) = \frac{Y(e^{j\omega})}{X(e^{j\omega})}$$

## 1.6 Fourierove “transformacije”

### 1. zvezni signali

- periodični:  $x(t) = x(t + nT), n = 0, \pm 1, \pm 2, \dots$

$$\left. \begin{aligned} a_k &= \frac{1}{T} \int_0^T x(t) e^{-jk \frac{2\pi}{T} t} dt \\ x(t) &= \sum_{k=-\infty}^{+\infty} a_k e^{jk \frac{2\pi}{T} t} \end{aligned} \right\} \text{Fourierova vrsta}$$

- neperiodični:

$$\left. \begin{aligned} X(\Omega) &= \int_{-\infty}^{+\infty} x(t) e^{-j\Omega t} dt \\ x(t) &= \frac{1}{2\pi} \int_{-\infty}^{+\infty} X(\Omega) e^{j\Omega t} d\Omega \end{aligned} \right\} \begin{array}{l} \text{Fourierov integral ali} \\ \text{Fourierova transformacija} \end{array}$$

### 2. diskretni signali

- periodični:  $x(t) = x(t + nN), n = 0, \pm 1, \pm 2, \dots$

$$\left. \begin{aligned} a_n &= \frac{1}{N} \sum_{k=0}^{N-1} x(k) e^{-jk \frac{2\pi}{N} n} \\ x(k) &= \sum_{n=0}^{N-1} a_n e^{jk \frac{2\pi}{N} n} \end{aligned} \right\} \text{diskretno-časovna Fourierova transf.}$$

$$\left. \begin{aligned} X(n) &= \sum_{k=0}^{N-1} x(k) e^{-jk \frac{2\pi}{N} n} \\ x(k) &= \frac{1}{N} \sum_{n=0}^{N-1} X(n) e^{jk \frac{2\pi}{N} n} \end{aligned} \right\} \text{DFT – diskretna Fourierova transf.}$$

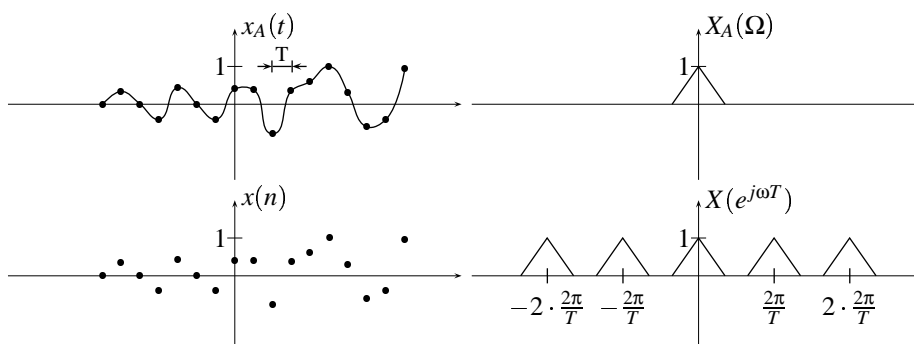


- neperiodični:

$$X(e^{j\omega}) = \sum_{k=-\infty}^{+\infty} x(k)e^{-j\omega k}$$

$$x(k) = \frac{1}{2\pi} \int_0^{2\pi} X(e^{j\omega}) e^{j\omega k} d\omega = \frac{T}{2\pi} \int_0^{\frac{2\pi}{T}} X(e^{j\omega T}) e^{j\omega T k} d\omega$$

## 1.7 Vzorčenje



$$\left. \begin{aligned} X_A(\Omega) &= \int_{-\infty}^{+\infty} x_A(t) e^{-j\Omega t} dt \\ x_A(t) &= \frac{1}{2\pi} \int_{-\infty}^{+\infty} X_A(\Omega) e^{j\Omega t} d\Omega \end{aligned} \right\} \text{za analogne}$$

$$\left. \begin{aligned} X(e^{j\omega T}) &= \sum_{n=-\infty}^{+\infty} x(n) e^{-j\omega T n} \\ x(n) &= \frac{T}{2\pi} \int_0^{\frac{2\pi}{T}} X(e^{j\omega T}) e^{j\omega T n} d\omega \end{aligned} \right\} \text{za diskretne}$$

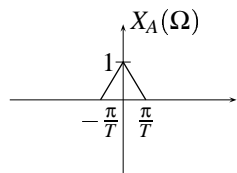
$$\begin{aligned} x(n) &= x_A(nT) = \frac{1}{2\pi} \int_{-\infty}^{+\infty} X_A(\Omega) e^{j\Omega nT} d\Omega \\ &= \frac{1}{2\pi} \sum_{m=-\infty}^{+\infty} \int_{\frac{2m\pi}{T}}^{\frac{2(m+1)\pi}{T}} X_A(\Omega) e^{j\Omega nT} d\Omega \\ &= \frac{T}{2\pi} \int_0^{\frac{2\pi}{T}} \left( \frac{1}{T} \sum_{m=-\infty}^{+\infty} X_A\left(\omega + \frac{2\pi}{T} \cdot m\right) \right) e^{j\omega nT} d\omega \end{aligned}$$

$$\begin{array}{c} \frac{2\pi}{T} \\ \leftarrow \quad \rightarrow \\ \hline -\infty \quad -3 \quad -2 \quad -1 \quad m=0 \quad 1 \quad 2 \quad 3 \quad +\infty \end{array} \quad \Omega = \omega + \frac{2\pi}{T} \cdot m$$

Iz primerjave sledi: 
$$X(e^{j\omega T}) = \frac{1}{T} \sum_{m=-\infty}^{+\infty} X_A\left(\omega + \frac{2\pi}{T} \cdot m\right)$$

Torej: spekter vzorčenega signala je enak neskončni vsoti spektrov zamaknjenih signalov.

### 1.8 Izrek o jemanju vzorcev



$$X_A(\Omega) = 0 \text{ za } |\Omega| > \frac{\pi}{T}$$

$$X(e^{j\omega T}) = \frac{1}{T} X(\omega) \text{ velja samo, če velja } -\frac{\pi}{T} \leq \omega \leq \frac{\pi}{T}$$

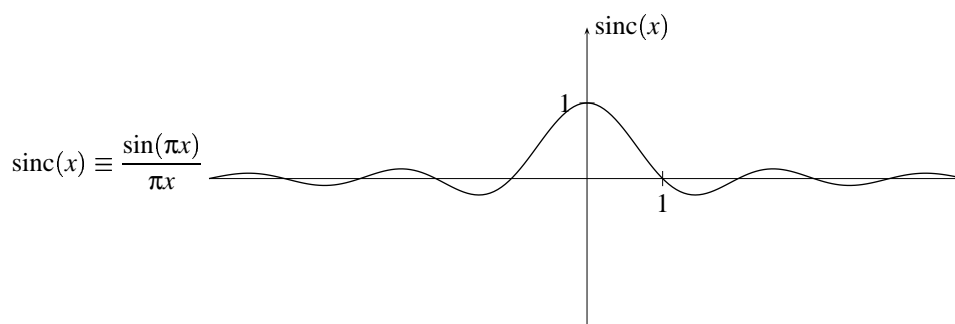
$$x_A(t) = \frac{1}{2\pi} \int_{-\infty}^{+\infty} X_A(\omega) e^{j\omega t} d\omega = \frac{1}{2\pi} \int_{-\frac{\pi}{T}}^{+\frac{\pi}{T}} X_A(\omega) e^{j\omega t} d\omega = \frac{T}{2\pi} \int_{-\frac{\pi}{T}}^{+\frac{\pi}{T}} X(e^{j\omega T}) e^{j\omega t} d\omega$$

$$X(e^{j\omega T}) = \sum_{n=-\infty}^{+\infty} x(n) e^{-j\omega T n} = \sum_{n=-\infty}^{+\infty} x_A(nT) e^{-j\omega T n}$$

$$x_A(t) = \frac{T}{2\pi} \int_{-\frac{\pi}{T}}^{+\frac{\pi}{T}} \left( \sum_{n=-\infty}^{+\infty} x(n) e^{-j\omega n T} \right) e^{j\omega t} d\omega = \sum_{n=-\infty}^{+\infty} x(n) \frac{T}{2\pi} \int_{-\frac{\pi}{T}}^{+\frac{\pi}{T}} e^{j\omega(t-nT)} d\omega, \quad x(n) = x_A(nT)$$

$$x_A(t) = \sum_{n=-\infty}^{+\infty} x_A(nT) \underbrace{\frac{\sin\left(\frac{\pi}{T}(t-nT)\right)}{\frac{\pi}{T}(t-nT)}}_{\text{interpolacijska formula}}$$

$$\text{sinc}\left(\frac{t}{T} - n\right)$$

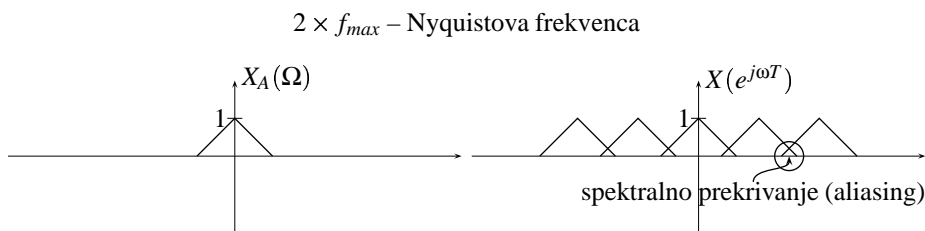


Pogoj za obratnost vzorčenja:

$$\frac{\pi}{T} \geq \text{najvišja frekvenca } (\Omega) \text{ vzorčenega signala}$$

oziroma

$$\frac{1}{T} = f_T > 2 \times \text{najvišja frekvenca vzorčenega signala}$$



### Antialiasing filtri

Transformacijski par za predstavitev zveznega signala na diskreten način:

$$x_A(t) = \sum_{n=-\infty}^{+\infty} c_n \Phi_n(t)$$

$$c_n = x_A(nT)$$

$$\Phi_n(t) = \text{sinc}\left(\frac{t}{T} - n\right)$$

## 1.9 Predstavitev signalov z ortogonalnimi funkcijami

Množica funkcij  $\{\Phi_k(t)\} = \{\Phi_{-\infty}(t), \dots, \Phi_{-1}(t), \Phi_0(t), \Phi_1(t), \dots, \Phi_{\infty}(t)\}$  je ortogonalna na intervalu  $t_0$  do  $t_0 + \tau$ , če velja:

$$\int_{t_0}^{t_0+\tau} \Phi_m(t) \Phi_n(t) dt = \begin{cases} a, & m = n \\ 0, & m \neq n \end{cases}$$

$$x(t) = \sum_{k=-\infty}^{+\infty} c_k(t) \Phi_k(t)$$

$$c_k = \frac{1}{a} \int_{t_0}^{t_0+\tau} x(t) \Phi_k(t) dt$$

Dokaz:

$$\int_{t_0}^{t_0+\tau} x(t) \Phi_m(t) dt = \int_{t_0}^{t_0+\tau} \left( \sum_{k=-\infty}^{+\infty} c_k \Phi_k(t) \right) \Phi_m(t) dt = \sum_{k=-\infty}^{+\infty} c_k \int_{t_0}^{t_0+\tau} \Phi_k(t) \Phi_m(t) dt = c_m \cdot a$$

**Q.E.D.**

Druge družine ortogonalnih funkcij:

- Kaihunen-Loewe
- Fourier
- Walsh-Maclainard
- valčki (wavelet)
- Haav
- Legendre

### Parsevalov izrek

Podaja zvezo med energijo (močjo) v časovnem in frekvenčnem prostoru in velja za vse ortogonalne funkcije.

$$x^2(t) = \sum_{k=-\infty}^{+\infty} c_k^2 \Phi_k(t) + \sum_{p=-\infty}^{+\infty} \sum_{\substack{q=-\infty \\ q \neq p}}^{+\infty} c_p c_q \Phi_p(t) \Phi_q(t)$$

$$\int_{t_0}^{t_0+\tau} x^2(t) dt = \sum_{k=-\infty}^{+\infty} c_k^2 \underbrace{\int_{t_0}^{t_0+\tau} \Phi_k^2(t) dt}_a + \underbrace{\sum_{p=-\infty}^{+\infty} \sum_{\substack{q=-\infty \\ q \neq p}}^{+\infty} c_p c_q \int_{t_0}^{t_0+\tau} \Phi_p(t) \Phi_q(t) dt}_0$$

$$\frac{1}{\tau} \int_{t_0}^{t_0+\tau} x^2(t) dt = \frac{a}{\tau} \sum_{k=-\infty}^{+\infty} c_k^2 \quad \text{– Parsevalov izrek}$$

Parsevalov izrek govori o tem, kako je moč signala razporejena po koeficientih diskretne predstavitve funkcije (oz. po spektru).

### 1.10 Strukture za realizacijo diskretnih sistemov

Za vsak LDČIS velja:  $x(n) \longrightarrow \boxed{h(n)} \longrightarrow y(n)$

$$y(n) = \sum_{k=-\infty}^{+\infty} x(k)h(n-k) = \sum_{k=-\infty}^{+\infty} h(k)x(n-k)$$

$$Y(z) = H(z) \cdot X(z)$$

$$H(z) = \frac{\sum_{l=0}^M a_l z^{-l}}{1 + \sum_{l=1}^N b_l z^{-l}} = A \frac{\prod_{l=1}^M (1 - z_l z^{-1})}{\prod_{l=1}^N (1 - p_l z^{-1})}, \quad z_l, p_l \text{ – ničle, poli}$$

$$H(z) = \frac{Y(z)}{X(z)} = \frac{\sum_{l=0}^M a_l z^{-l}}{1 + \sum_{l=1}^N b_l z^{-l}} \quad \text{– prevajalna funkcija} \quad (1)$$

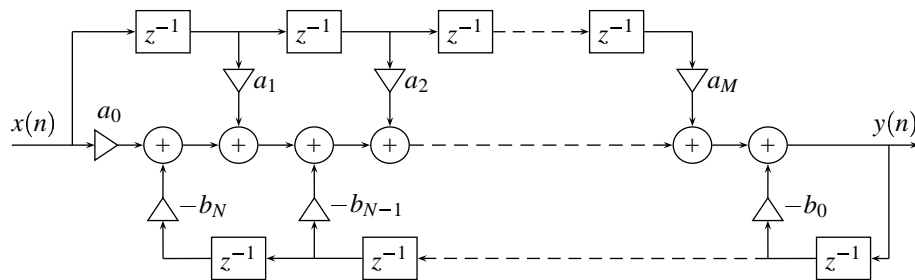
Navzkrižno pomnožimo:

$$\sum_{l=0}^M a_l z^{-l} X(z) = Y(z) \left( 1 + \sum_{l=1}^N b_l z^{-l} \right)$$

$$\sum_{l=0}^M a_l x(n-l) = y(n) + \sum_{l=1}^N b_l y(n-l) \quad \text{– inverzna } Z\text{-transformacija gornje funkcije}$$

$$y(n) = \sum_{l=0}^M a_l x(n-l) - \sum_{l=1}^N b_l y(n-l) \quad \text{– diferenčna enačba za (1)}$$

Opisano je zelo enostaven postopek pretvorbe prevajalne funkcije v diferenčno enačbo. Prikaz z diagramom, direktna forma 1:



Če so vsi  $b_i = 0$ , potem je enačba nerekurzivna.

$$H(z) = \frac{Y(z)}{X(z)} = \underbrace{\left( \frac{1}{1 + \sum_{l=1}^N b_l z^{-l}} \right)}_{H_1(z)} \underbrace{\left( \sum_{l=0}^M a_l z^{-l} \right)}_{H_2(z)} = H_1(z)H_2(z)$$

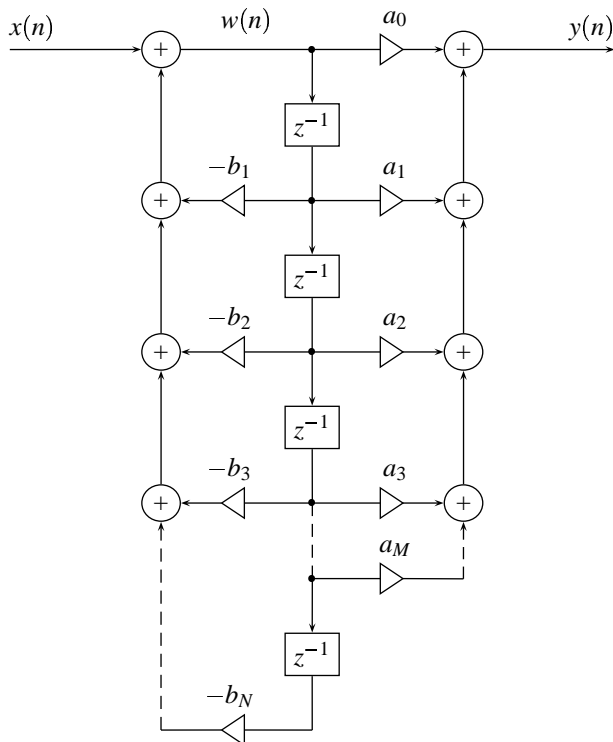
$$H_1(z) = \frac{W(z)}{X(z)} = \frac{1}{1 + \sum_{l=1}^N b_l z^{-l}}$$

$$H_2(z) = \frac{Y(z)}{W(z)} = \sum_{l=0}^M a_l z^{-l}$$

$$w(n) = x(n) - \sum_{l=1}^N b_l w(n-l)$$

$$y(n) = \sum_{l=0}^M a_l w(n-l)$$

Dobimo enostavnejšo direktno formo 2 (kanonična oblika):



Težave:

- pri kvantizaciji  $a_l, b_l$  hočemo porabiti čim manj bitov za reprezentacijo funkcije,
- že majhne napake pri koeficientih direktne forme zelo spremenijo potek prevajalne funkcije – občutljivost direktne forme na napake.

Občutljivost direktne forme na kvantizacijo koeficientov  $a_l, b_l$ :

$a_l, b_l$  – neskončno natančni koeficienti  
 $a_l^*, b_l^*$  – kvantizirani koeficienti (končno število bitov)

$$a_l^* = a_l + \Delta a_l$$

$$b_l^* = b_l + \Delta b_l$$

$\Delta a_l, \Delta b_l$  – kvantizacijska napaka

$$P(z) = 1 + \sum_{l=1}^N b_l z^{-l} = \prod_{l=1}^N (1 - p_l z^{-l}), \quad p_l - \text{poli}$$

$$p_l^* = p_l + \Delta p_l, \quad \Delta p_l - \text{napaka v legi pola}$$

Če je majhna sprememba  $b_l \rightarrow$  velika sprememba lege polov  $\rightarrow$  občutljivost

$$p_l = p_l(b_1, b_2, \dots, b_N)$$

$$P(z) = P(b_1, b_2, \dots, b_N) = P(p_1, p_2, \dots, p_N)$$

$$\Delta p_l = \sum_{k=1}^N \frac{\partial p_l}{\partial p_k} \Delta b_k$$

$$\frac{\partial P(z)}{\partial p_l} = \frac{\partial p_l}{\partial b_k} = \frac{\partial P(z)}{\partial b_k}$$

$$\frac{\partial p_l}{\partial b_k} = \frac{\frac{\partial P(z)}{\partial b_k}}{\frac{\partial P(z)}{\partial p_l}} = \frac{p_l^{N-k}}{\prod_{\substack{i=1 \\ i \neq l}}^N (p_l - p_i)}$$

$$\Delta p_l = \sum_{k=1}^N \frac{p_l^{N-k}}{\prod_{\substack{i=1 \\ i \neq l}}^N (p_l - p_i)} \cdot \Delta b_k$$

To je dokaz, da majhne spremembe  $b_i$  povzročijo velike spremembe  $p_l$ . Če sta dva (ali več) pola blizu skupaj, potem je faktor v vsoti velik.

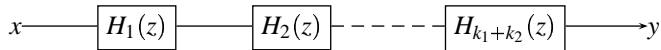
### Kaskadna forma

$$H(z) = a_0 \prod_{l=1}^{k_1} H_{1l}(z) \cdot \prod_{l=1}^{k_2} H_{2l}(z)$$

$$H_{1l}(z) = \frac{1 + a_{1l}z^{-1}}{1 + b_{1l}z^{-1}}$$

$$H_{2l}(z) = \frac{1 + a_{1l}z^{-1} + a_{2l}z^{-2}}{1 + b_{1l}z^{-1} + b_{2l}z^{-2}}$$

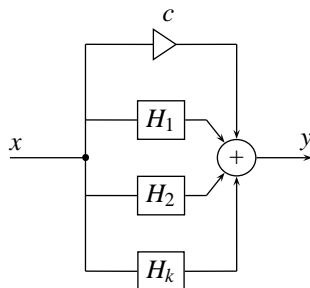
Realizacija:



Skupna občutljivost na kvantizacijske napake je bistveno manjša, ker so le-te omejene na posamezne  $H$ -je.

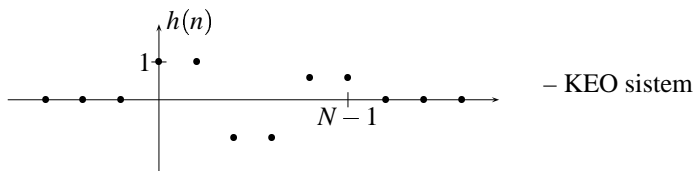
### Paralelna forma

$$H(z) = c + \sum_{l=1}^k H_l(z)$$



## 2 Metode za načrtovanje digitalnih filtrov s končnim enotnim odzivom (KEO)

Če  $h(n) = 0, n \geq N$ , potem pravimo, da ima  $h(n)$  končno dolžino.



Negativni indeksi so nič zaradi kavzalnosti sistema! Pri nerekurzivnih funkcijah imamo KEO sistem.

Lastnosti:

1.  $H(z)$  nima polov (razen pri  $z = 0$ )

$$H(z) = \sum_{k=0}^{N-1} h(k)z^{-k}$$

2. sistem je vedno stabilen:

$$\sum_{k=0}^{N-1} |h(k)| = \text{končno}$$

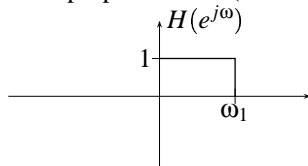
**Kaj je to načrtovanje digitalnega filtra?**

1. podan imamo želeni frekvenčni potek  $H_d(e^{j\omega})$
2. podano imamo dolžino  $N$
3. iščemo tak odziv na enotni impulz  $h(n)$ , da bo razlika  $H(e^{j\omega}) - H_d(e^{j\omega})$  čim manjša (z večanjem  $N$  manjšamo le-to)

Koeficienti KEO filtra:  $h(0), h(1), \dots, h(N-1)$ .

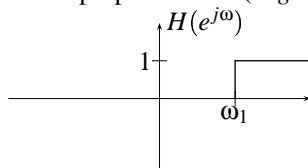
Štiri osnovne vrste filtrov (poleg teh štirih še veliko drugih):

- nizkopropustni filter (*Low-Pass*) LP



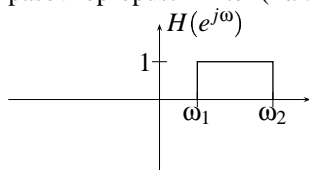
Primer: antialiasing filtri.

- visokopropustni filter (*High-Pass*) HP



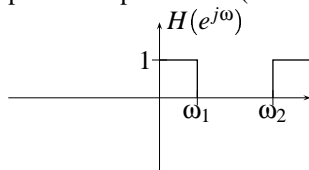


- pasovnopropustni filter (*Band-Pass*) BP

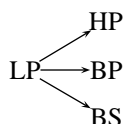


Primer: radio in televizija; širina pasu za radio: AM: 4.5 kHz, FM: 50 KHz (EU), 100 kHz (USA).

- pasovnozaporni filter (*Band-Stop*) BS



Obstajajo transformacije za preslikavo:



$H_d(e^{j\omega})$  je odsekoma konstantna funkcija.

Za KEO digitalne filtre velja  $h(k) = 0$  za  $k \geq N$ ,  $N$  = dolžina filtra. KEO filter je vedno stabilen, ker  $\sum_{k=0}^{\infty} |h(k)|$  = končen.

$$H(e^{j\omega}) = \sum_{k=0}^{N-1} h(k)e^{-j\omega k} = |H(e^{j\omega})| \cdot e^{j\Theta(e^{j\omega})}$$

↑ frekvenčni odziv     
 ↑ amplitudni odziv     
 ↑ fazni odziv (zakasnitev)

$$x(k) \longrightarrow \boxed{h(k)} \longrightarrow y(k), x(k) = A \cos(\omega k)$$

$$\begin{aligned}
 y(k) &= A \cdot |H(e^{j\omega})| \cdot \cos(\omega k + \Theta(e^{j\omega})) \\
 &= A \cdot |H(e^{j\omega})| \cdot \cos\left(\omega \left(k + \underbrace{\frac{\Theta(e^{j\omega})}{\omega}}_{\Delta k}\right)\right)
 \end{aligned}$$

$$-\frac{\Theta(e^{j\omega})}{\omega} = \text{zakasnitev}$$

Linearna faza:  $\Theta(\omega) = \alpha - \beta\omega$

$$\frac{\Theta(\omega)}{\omega} = \frac{\alpha}{\omega} - \beta$$

1. Filtri z linearno fazo
2. Filtri z nelinearno fazo



## 2.1 KEO digitalni filtri z linearno fazo

$$H(e^{j\omega}) = \sum_{k=0}^{N-1} h(k)e^{-j\omega k} \stackrel{\text{def}}{=} G(e^{j\omega})e^{j(\alpha-\beta\omega)}$$

realna funkcija (lahko tudi negativna)

Za realne  $h(k)$ :

konjugirano kompleksen

$$H^*(e^{j\omega}) = H(e^{-j\omega})$$

$$|H(e^{j\omega})| = |H(e^{-j\omega})|$$

$$|G(e^{j\omega})| = |G(e^{-j\omega})|$$

Iz tega sledi, da je funkcija  $G(e^{j\omega})$ :

1. ali soda,
2. ali liha.

Primer:

1.  $G(e^{j\omega}) = G(e^{-j\omega})$  soda funkcija  
 $H^*(e^{j\omega}) = G(e^{j\omega}) \cdot e^{-j(\alpha-\beta\omega)}$   
 $H(e^{-j\omega}) = G(e^{-j\omega}) \cdot e^{j(\alpha+\beta\omega)}$   
 Zaradi  $H^*(e^{j\omega}) = H(e^{-j\omega})$  sledi

$$\underbrace{G(e^{j\omega})e^{-j(\alpha-\beta\omega)}}_{\text{isto}} = \underbrace{G(e^{-j\omega})e^{j(\alpha+\beta\omega)}}_{\text{isto}}$$

$$e^{-j(\alpha-\beta\omega)} = e^{j(\alpha+\beta\omega)}$$

$$e^{-j\alpha} \cdot e^{j\beta\omega} = e^{j\alpha} \cdot e^{j\beta\omega}$$

$$\boxed{\alpha = 0}$$

2.  $G(e^{j\omega}) = -G(e^{-j\omega})$  liha funkcija

$$e^{-j\alpha} = -e^{j\alpha}$$

$$\boxed{\alpha = \frac{\pi}{2}}$$

Kakšen je  $\beta$ ?

- Za sodo funkcijo  $G(e^{j\omega})$ ,  $\alpha = 0$

$$\begin{cases} G(e^{j\omega}) = H^*(e^{j\omega}) \cdot e^{j\beta\omega} & \text{-- po definiciji} \\ G(e^{-j\omega}) = H(e^{-j\omega}) \cdot e^{-j\beta\omega} \end{cases}$$

$$\rightarrow H(e^{j\beta\omega})e^{j\beta\omega} = H(e^{-j\omega})e^{-j\beta\omega}$$

$$\begin{aligned} \left( \sum_{k=0}^{N-1} h(k) e^{-j\omega k} \right) e^{j\beta\omega} &= \left( \sum_{k=0}^{N-1} h(k) e^{j\omega k} \right) e^{-j\beta\omega} = \\ &= e^{j(N-1-2\beta)\omega} \left( \sum_{k=0}^{N-1} h(N-1-k) e^{-j\omega k} \right) e^{j\beta\omega} \end{aligned}$$

$$\boxed{\beta = \frac{N-1}{2}} \quad \boxed{\alpha = 0}$$

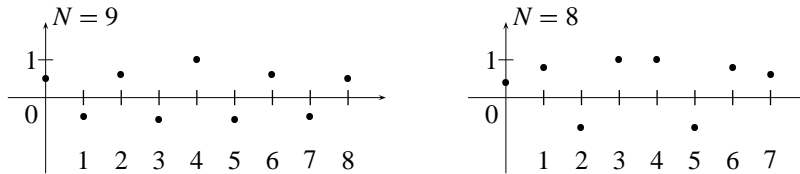
$$\boxed{h(k) = h(N-1-k)} \quad \text{– pozitivna simetrija}$$

- Za liho funkcijo  $G(e^{j\omega}) = -G(e^{-j\omega})$

$$\boxed{\beta = \frac{N-1}{2}} \quad \boxed{\alpha = \frac{\pi}{2}}$$

$$\boxed{h(k) = -h(N-1-k)} \quad \text{– negativna simetrija}$$

Posledica linearne faze: pozitivna ali negativna simetrija  $h(k)$



Sledi: polovica  $h(k)$  je vnaprej določena, prostostna stopnja se zmanjša.  
4 osnovni tipi KEO filtrov z linearno fazo:

1. pozitivna simetrija ( $G(e^{j\omega}) = G(-e^{j\omega})$ ),  $N =$  liho število

$$\begin{aligned} H(e^{j\omega}) &= e^{-j\omega \frac{N-1}{2}} \left( h\left(\frac{N-1}{2}\right) + \sum_{k=1}^{\frac{N-1}{2}} 2h\left(\frac{N-1}{2} - k\right) \cos(\omega k) \right) = \\ &= e^{-j\omega \frac{N-1}{2}} \underbrace{\sum_{k=0}^{\frac{N-1}{2}} a(k) \cos(\omega k)}_{\text{kosinusni polinom}} \end{aligned}$$

$$a(0) = h\left(\frac{N-1}{2}\right)$$

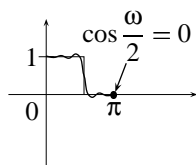
$$a(k) = 2h\left(\frac{N-1}{2} - k\right), \quad k = 1, 2, \dots, \frac{N-1}{2}$$

Kosinusni polinom:

$$\cos(\omega k) = \sum_{l=1}^k \alpha_l \cos^l \omega = \sum_{l=1}^k \alpha_l x^l$$

2. pozitivna simetrija,  $N = \text{sodo število}$

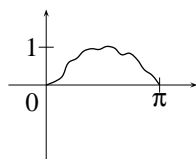
$$\begin{aligned} H(e^{j\omega}) &= e^{-j\omega \frac{N-1}{2}} \sum_{k=0}^{\frac{N-1}{2}-1} 2h \left( \frac{N}{2} - 1 - k \right) \cdot \cos \left( \omega \left( k + \frac{1}{2} \right) \right) = \\ &= e^{-j\omega \frac{N-1}{2}} \cos \frac{\omega}{2} \sum_{k=0}^{\frac{N}{2}-1} b(k) \cos(\omega k) \end{aligned}$$



pri  $\omega = \pi$  imamo vedno  $H(e^{j\omega}) = 0$

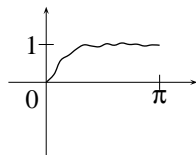
3. negativna simetrija,  $N = \text{liho število}$  ( $\alpha = \frac{\pi}{2}$ )

$$\begin{aligned} H(e^{j\omega}) &= e^{-j\omega \frac{N-1}{2}} e^{j\frac{\pi}{2}} \left( e^{-j\frac{\pi}{2}} \underbrace{h \left( \frac{N-1}{2} \right)}_{\substack{0, \text{ sicer } G(e^{j\omega}) \text{ ni liha} \\ 0, \text{ sicer } G(e^{j\omega}) \text{ ni liha}}} + \sum_{k=1}^{\frac{N-1}{2}} 2h \left( \frac{N-1}{2} \right) \sin(\omega k) \right) = \\ &= e^{-j\omega \frac{N-1}{2}} e^{j\frac{\pi}{2}} \sin \omega \sum_{k=0}^{\frac{N-3}{2}} c(k) \cos(\omega k) \end{aligned}$$



4. negativna simetrija,  $N = \text{sodo število}$

$$\begin{aligned} H(e^{j\omega}) &= e^{-j\omega \frac{N-1}{2}} e^{j\frac{\pi}{2}} \left( \sum_{k=0}^{\frac{N}{2}-1} 2h \left( \frac{N}{2} - 1 - h \right) \sin \omega \left( k + \frac{1}{2} \right) \right) = \\ &= e^{-j\omega \frac{N-1}{2}} e^{j\frac{\pi}{2}} \sin \frac{\omega}{2} \sum_{k=0}^{\frac{N}{2}-1} d(k) \cos(\omega k) \end{aligned}$$



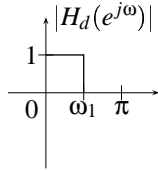
$Q(\omega)$	$P(\omega)$
1,	
$\cos \frac{\omega}{2},$	$\sum_{k=0}^n d(k) \cos(\omega k)$
$\sin \omega,$	
$\sin \frac{\omega}{2}$	

## 2.2 Načrtovanje z uporabo okenskih funkcij

$H_d(e^{j\omega})$  želeni frekvenčni potek

$$H_d(e^{j\omega}) = \sum_{k=-\infty}^{+\infty} h_d(k) e^{-j\omega k}$$

$$h_d(k) = \frac{1}{2\pi} \int_0^{2\pi} H_d(e^{j\omega}) e^{j\omega k} d\omega$$



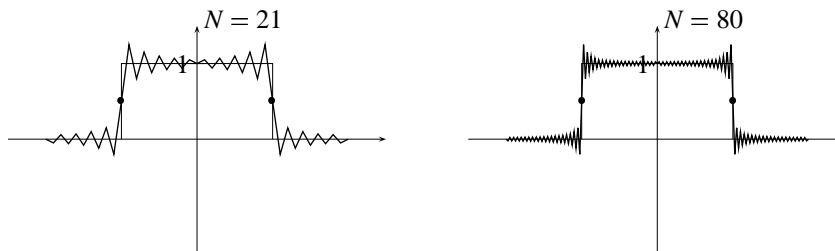
Problem:  $h_d(k)$  je neskončno dolg, če vsebuje  $H_d(e^{j\omega})$  nezveznosti. Rešitev:

$$h(k) = \begin{cases} h_d(k) & k = 0, 1, \dots, N-1 \\ 0 & \text{drugod} \end{cases} \quad (2)$$

filter s končnim enotnim odzivom

### 2.2.1 Gibbsov pojav

1898, Albert Michelson s harmoničnim analizatorjem ugotovil posledice enačbe (2):



Gibbsov pojav: v točkah nezveznosti je vedno (za vsak končen  $N$ ) 9% odstopanja (funkcija gre skozi sredino stopnice).

Kako razložimo?

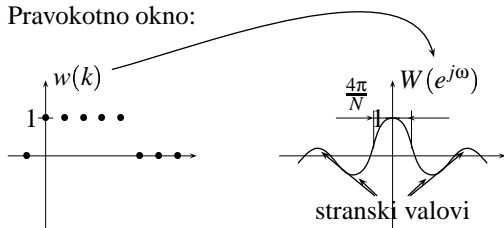
$$h(k) = h_d(k) \cdot w(k)$$

$$w(k) = \begin{cases} 1 & k = 0, 1, \dots, N-1 \\ 0 & \text{drugod} \end{cases} \quad \text{– pravokotno okno}$$

$$H(e^{j\omega}) = \frac{1}{2\pi} \int_0^{2\pi} H_d(e^{j\Theta}) W(e^{j(\omega-\Theta)}) d\Theta \quad \text{– konvolucijski integral}$$

$$W(e^{j\omega}) = \sum_{k=-\infty}^{+\infty} w(k) e^{-j\omega k} = e^{-j\omega \frac{N-1}{2}} \underbrace{\frac{\sin \frac{\omega N}{2}}{\sin \frac{\omega}{2}}}_{\text{digitalni sinc}}$$

Pravokotno okno:

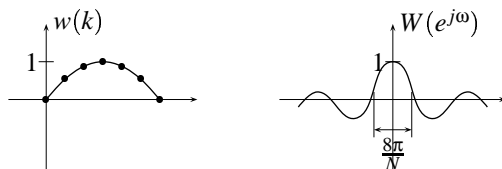


Stranski valovi povzročijo Gibbsov pojav. Funkcija brez valov je  $\delta$ , vendar jo povzroči neskončno pravokotno okno. Torej iščemo funkcije s čim manjšimi valovi.

### 2.2.2 Okenske funkcije

1. von Hannovo okno:

$$w(k) = 0.5 - 0.5 \cdot \cos\left(\frac{2\pi k}{N-1}\right)$$



Valovi so manjši, vendar je okno širše.

2. Hammingovo okno:

$$w(k) = 0.54 - 0.46 \cdot \cos\left(\frac{2\pi k}{N-1}\right)$$

Podobno je von Hannovemu oknu.

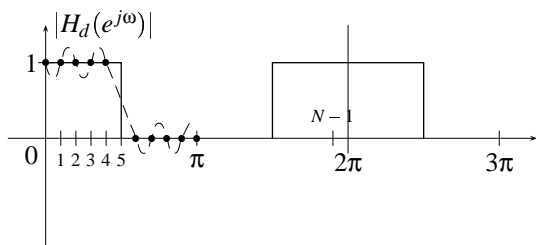
3. Kaiserjeva okna (optimalna): v stranskih valovih imajo najmanj energije.

4. Dulph-Čebiševo okno

5. Bartlettovo okno

6. Trikotno okno

### 2.3 Načrtovanje z uporabo frekvenčnega vzorčenja



Interval  $[0 \dots 2\pi]$  razdelimo na  $N$  ekvidistančnih točk.

$$H_d(e^{j\omega_k}), \quad \omega_k = \frac{2\pi}{N} \cdot k, \quad k = 0, 1, \dots, N-1$$

$$H_d(e^{j\omega}) = \sum_{n=0}^{N-1} h(n)e^{-j\omega n}$$

Zanimajo nas točke  $\omega = \omega_k$ :

$$H_d(e^{j\frac{2\pi}{N}k}) = \sum_{n=0}^{N-1} h(n)e^{-\frac{2\pi jnk}{N}} \quad \leftarrow \text{DFT: } H_d(k) = \sum_{n=0}^{N-1} h(n)e^{-\frac{2\pi jnk}{N}}$$

$$h(n) = \frac{1}{N} \sum_{k=0}^{N-1} H_d(k)e^{\frac{2\pi jkn}{N}} \quad \leftarrow \text{inverzna DFT (IDFT)}$$

$$\begin{aligned} H(z) &= \sum_{n=0}^{N-1} h(n)z^{-n} = \sum_{n=0}^{N-1} \left( \frac{1}{N} \sum_{k=0}^{N-1} H_d(k)e^{\frac{2\pi jkn}{N}} \right) z^{-n} = \\ &= \sum_{k=0}^{N-1} \frac{H_d(k)}{N} \sum_{n=0}^{N-1} \left( e^{\frac{2\pi jk}{N}} \cdot z^{-1} \right)^n = \\ &= \sum_{k=0}^{N-1} \frac{H_d(k)}{N} \cdot \frac{1 - \overbrace{e^{2\pi jk} \cdot z^{-N}}^{=1}}{1 - e^{\frac{2\pi jk}{N}} \cdot z^{-1}} = \\ &= \frac{1 - z^{-N}}{N} \sum_{k=0}^{N-1} \frac{H_d(k)}{1 - z^{-1}e^{\frac{2\pi jk}{N}}} \\ H(e^{j\omega}) &= H(z)|_{z=e^{j\omega}} \end{aligned}$$

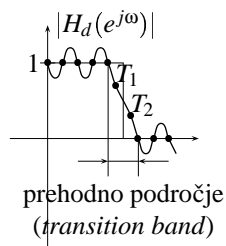
$$H(e^{j\omega}) = e^{-\frac{j\omega(N-1)}{2}} \sum_{k=0}^{N-1} H_d(e^{j\omega_k}) e^{j2\pi k \frac{N-1}{2N}} \cdot \overbrace{\frac{\sin(N(\frac{\omega}{2} - \frac{\pi k}{N}))}{N \cdot \sin(\frac{\omega}{2} - \frac{\pi k}{N})}}^{\text{digitalni sinc: } \frac{\sin(Nx)}{N \sin x}}$$

Pri linearni fazi:

$$H_d(e^{j\omega_k}) = |H_d(e^{j\omega_k})| e^{-j2\pi k \frac{N-1}{2N}}$$

$$H(e^{j\omega}) = e^{-\frac{j\omega(N-1)}{2}} \sum_{k=0}^{N-1} |H_d(e^{j\omega_k})| \frac{\sin(N(\frac{\omega}{2} - \frac{\pi k}{N}))}{N \cdot \sin(\frac{\omega}{2} - \frac{\pi k}{N})}$$

povzroča "valove" → slab filter



$T_1, T_2$  sta frekvenci v prehodnem področju.

Ideja metode: položaj  $H(e^{j\omega})$  za  $\omega = \omega_{T_1}, \omega_{T_2}$  ni pomemben. Imamo: 1,2 ali 3 točke, v katerih  $|H(e^{j\omega})|$  lahko spreminjamo. Pametna izbira  $|H(e^{j\omega})|_{\omega=\omega_{T_1}, \omega_{T_2}, \omega_{T_3}}$  močno zmanjša valove.

Kje dobimo pametno izbiro? Obstajajo tabele.

## 2.4 Načrtovanje optimalnih KEO filtrov z linearno fazo

$$H(e^{j\omega}) = e^{-\frac{j\omega(N-1)}{2}} e^{jL\frac{\pi}{2}} G(e^{j\omega})$$

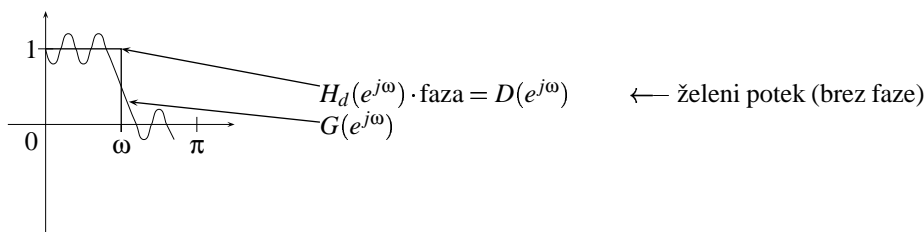
$L = 0$  pri pozitivni simetriji

$L = 1$  pri negativni simetriji

kosinusni polinom

$$G(e^{j\omega}) = Q(e^{j\omega}) \cdot P(e^{j\omega}) = Q(e^{j\omega}) \cdot \sum_{k=0}^{r-1} \alpha(k) \cos(k\omega)$$

1.  $Q(e^{j\omega}) = 1$
2.  $Q(e^{j\omega}) = \cos \frac{\omega}{2}$
3.  $Q(e^{j\omega}) = \sin \omega$
4.  $Q(e^{j\omega}) = \sin \frac{\omega}{2}$



$$D(e^{j\omega}) = H_d(e^{j\omega}) \cdot e^{\frac{j\omega(N-1)}{2}} \cdot e^{-jL\frac{\pi}{2}}$$

funkcija napake

$$E(e^{j\omega}) = W(e^{j\omega}) (D(e^{j\omega}) - G(e^{j\omega})), \quad W(e^{j\omega}) > 0$$

utežnostna funkcija

$$E(e^{j\omega}) = \underbrace{W(e^{j\omega}) \cdot Q(e^{j\omega})}_{W'(e^{j\omega})} \left( \underbrace{\frac{D(e^{j\omega})}{Q(e^{j\omega})}}_{D'(e^{j\omega})} - P(e^{j\omega}) \right)$$

$$\boxed{E(e^{j\omega}) = W'(e^{j\omega}) (D'(e^{j\omega}) - P(e^{j\omega}))} \quad (3)$$

Enačba (3) je poenotenje štirih tipov filtrov na isti aproksimacijski problem.

#### 2.4.1 Kriterij optimalnosti

aproksimacijski problem

$$\|E(e^{j\omega})\|_{\infty} = \min_{\{\alpha\}} \left( \max_{\omega \in \Omega} |W'(e^{j\omega}) (D'(e^{j\omega}) - P(e^{j\omega}))| \right), \quad \Omega \subseteq (0, \pi)$$

– Čebiševa norma (mat.), minimax (teh.),  $L_{\infty}$  norma, enakomerna aproksimacija

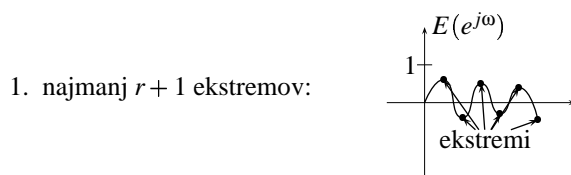
#### 2.4.2 Alternacijski izrek

Naj bo  $P(e^{j\omega})$  kosinusni polinom:

$$P(e^{j\omega}) = \sum_{k=0}^{r-1} \alpha(k) \cos(k \cdot \omega)$$

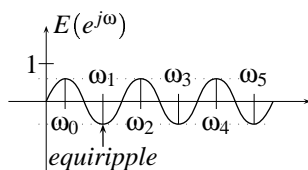
Potreben in zadosten pogoj za optimalno aproksimacijo je, da ima funkcija napake  $E(e^{j\omega})$ :





2. če so  $0 \leq \omega_0 < \omega_1 < \omega_2 < \dots < \omega_r \leq \pi$  točke, v katerih je ekstrem (ekstremalne frekvence), potem velja:

$$E(e^{j\omega_i}) = -E(e^{j\omega_{i+1}}), \quad i = 0, 1, \dots, r-1$$



$$|E_{\max}| = |E(e^{j\omega_i})|, \quad i = 0, 1, \dots, r-1$$

Funkcija napake:

$$E(e^{j\omega}) = W'(e^{j\omega}) (D'(e^{j\omega}) - P(e^{j\omega})), \quad P(e^{j\omega}) = \sum_{k=0}^{r-1} \alpha(k) \cos(k\omega)$$

### 2.4.3 Algoritem za določanje koeficientov $\alpha(k)$

Remezov algoritem; leta 1972 sta ga uporabila Parks & McClellan

1. Predpostavimo, da poznamo ekstremalne frekvence  $\omega_0, \omega_1, \dots, \omega_r$ . Potem velja sistem enačb:

$$W'(e^{j\omega_k}) (D'(e^{j\omega_k}) - P(e^{j\omega_k})) = (-1)^k \delta, \quad k = 0, 1, \dots, r$$

(drugače zapisan alternacijski izrek)

$$D'(e^{j\omega_k}) = \frac{(-1)^k}{W'(e^{j\omega_k})} \cdot \delta + \sum_{i=0}^{r-1} \alpha(i) \cos(i\omega_k), \quad k = 0, 1, \dots, r$$

$$\begin{bmatrix} 1 & \cos \omega_0 & \cos(2\omega_0) & \dots & \cos((r-1)\omega_0) & \frac{1}{W'(e^{j\omega_0})} \\ 1 & \cos \omega_1 & \cos(2\omega_1) & \dots & \cos((r-1)\omega_1) & \frac{-1}{W'(e^{j\omega_1})} \\ \vdots & \vdots & \vdots & \ddots & \vdots & \vdots \\ 1 & \cos \omega_r & \cos(2\omega_r) & \dots & \cos((r-1)\omega_r) & \frac{(-1)^r}{W'(e^{j\omega_r})} \end{bmatrix} \begin{bmatrix} \alpha(0) \\ \alpha(1) \\ \vdots \\ \alpha(r-1) \\ \delta \end{bmatrix} = \begin{bmatrix} D'(e^{j\omega_0}) \\ D'(e^{j\omega_1}) \\ \vdots \\ D'(e^{j\omega_r}) \end{bmatrix}$$

Če poznamo  $\omega_0, \omega_1, \dots, \omega_r$ , lahko izračunamo  $\alpha(0), \alpha(1), \dots, \alpha(r-1)$  in  $\delta$ .  
Problem: ne poznamo jih. Uporabimo trik:

2.  $\delta$  je mogoče izračunati, ker imamo Van der Mondejevo determinanto:

$$\begin{vmatrix} 1 & x_0 & x_0^2 & x_0^3 & \dots \\ 1 & x_1 & x_1^2 & x_1^3 & \dots \\ \vdots & \vdots & \vdots & \vdots & \ddots \end{vmatrix}$$

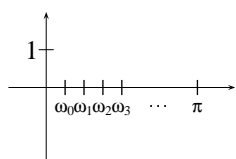
$$\delta = \frac{\gamma_0 D'(e^{j\omega_0}) + \gamma_1 D'(e^{j\omega_1}) + \dots + \gamma_r D'(e^{j\omega_r})}{\frac{\gamma_0}{W'(e^{j\omega_0})} - \frac{\gamma_1}{W'(e^{j\omega_1})} + \dots + \frac{(-1)^r \gamma_r}{W'(e^{j\omega_r})}}, \quad \gamma_k = \frac{1}{\prod_{\substack{n=0 \\ n \neq k}}^r (\cos \omega_k - \cos \omega_n)}$$

3. Uporabimo interpolacijski polinom, ki gre skozi točke

$$D'(e^{j\omega_k}) - \frac{(-1)^k \delta}{W'(e^{j\omega_k})}$$

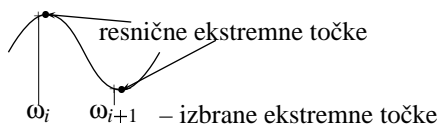
#### 2.4.4 Remezov algoritem

1. Izberemo ekstremalne frekvence  $\omega_0, \omega_1, \dots, \omega_r$ . Najboljša izbira je ekvidistančna.



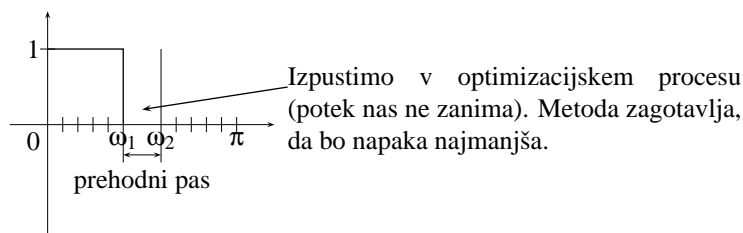
2. Izračunamo  $\delta$ .

3. Potegnemo interpolacijski polinom skozi  $\delta$



4. Poiščemo resnične ekstremalne frekvence  $\omega'_0, \omega'_1, \dots, \omega'_r$  (iz polinoma).

5. Če so resnične ekstremalne frekvence enake prejšnjim, imamo rešitev; sicer vzamemo  $\omega_k = \omega'_k$  in se vrnemo na korak 2.



$$\Omega = (0, \omega_1) \cup (\omega_2, \pi)$$

Izberemo gosto diskretno množico točk (tipično  $10 \cdot r$ ).

#### 2.4.5 Splošen postopek načrtovanja filtrov

1. Potrebujemo  $D(\omega)$  (želeni potek), po potrebi tudi  $W(\omega)$  (utežnostna funkcija).
2. Izberemo dolžino filtra  $N$  (stopnja polinoma).
3. Izračunamo koeficiente filtra (npr. optimalne).
4. Preverimo napako (razlika med želenim  $D(\omega)$  in resničnim  $G(\omega)$ ).
5. Po potrebi popravimo  $N$  in ponovimo postopek od 3. koraka naprej.

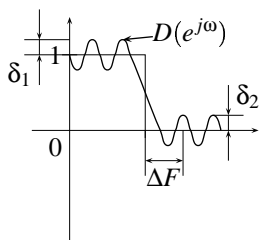
Približna formula za  $N$ :

$$D_\infty(\delta_1, \delta_2) = (N - 1)\Delta F + f(\delta_1, \delta_2)\Delta F^2$$

$$f(\delta_1, \delta_2) = b_1 + b_2(\log_{10} \delta_1 - \log_{10} \delta_2)$$

$$D_\infty(\delta_1, \delta_2) = (a_1 \log_{10}^2 \delta_1 + a_2 \log_{10} \delta_1 + a_3) \log_{10} \delta_2 + (a_4 \log_{10}^2 \delta_1 + a_5 \log_{10} \delta_1 + a_6)$$

$$\left. \begin{matrix} a_1, \dots, a_6 \\ b_1, b_2 \end{matrix} \right\} \text{ v knjigi}$$



### 3 Metode za načrtovanje digitalnih filtrov z neskončnim enotnim odzivom (NEO filtri, IIR)

$$H(z) = \frac{\sum_{l=0}^M a_l z^{-l}}{1 + \sum_{l=1}^N b_l z^{-l}}$$

Če niso vsi  $b_l = 0 \Rightarrow$  neskončni enotni odziv  $h(n)$

Pogoj za linearno fazo:  $h(n) = \pm h(N - n)$

$$\begin{aligned} H(z) &= \sum_{n=0}^{N-1} h(n)z^{-n} = \\ &= h(0) + h(1)z^{-1} + \dots + h(2)z^{-(N-3)} + h(1)z^{-(N-2)} + h(0)z^{-(N-1)} = \\ &= z^{-\frac{N-1}{2}} \left( \underbrace{h(0)(z^{\frac{N-1}{2}} + z^{-\frac{N-1}{2}}) + h(1)(z^{\frac{N-3}{2}} + z^{-\frac{N-3}{2}}) + \dots}_{\text{enako}} \right) \end{aligned}$$

$$H(z^{-1}) = z^{\frac{M-1}{2}} \left( h(0)(z^{\frac{N-1}{2}} + z^{-\frac{N-1}{2}}) + h(1)(z^{\frac{N-3}{2}} + z^{-\frac{N-3}{2}}) + \dots \right)$$

$$H(z^{-1}) = z^{(N-1)}H(z) \quad \text{pozitivna simetrija}$$

$$H(z^{-1}) = -z^{(N-1)}H(z) \quad \text{negativna simetrija}$$

Vzemimo, da je  $z_i = r_i e^{j\theta_i}$  pol od  $H(z) \Rightarrow z_i^{-1}$  je tudi pol:  $\frac{1}{z_i} = \frac{1}{r_i} e^{-j\theta_i}$ .

Če je  $r_i < 0 \Rightarrow \frac{1}{r_i} > 1$ .

Če imamo pole (razen pri 0), je sistem pri linearni fazi vedno **nestabilen**.

Optimiziramo:

1. Močnostni odziv

$$|H(e^{j\omega})|^2 = |H(z)H(z^{-1})| \Big|_{z=e^{j\omega}}$$

2. Fazni odziv, v dveh oblikah:

(a)

$$H(e^{j\omega}) = |H(e^{j\omega})| e^{j\beta(e^{j\omega})}$$

$$H(e^{-j\omega}) = |H(e^{j\omega})| e^{-j\beta(e^{j\omega})}$$

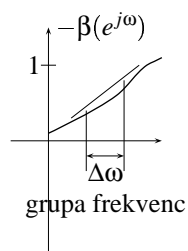
$$\beta(e^{j\omega}) = \frac{1}{2j} \ln \left( \frac{H(z)}{H(z^{-1})} \right) \quad - \text{fazni odziv pri } z = e^{j\omega}$$

(b) grupna zakasnitev

$$\tau_g(e^{j\omega}) = -\frac{d\beta(e^{j\omega})}{d\omega} = -jz \frac{d\beta}{dz} \Big|_{z=e^{j\omega}}$$

slednje pride iz

$$\frac{d\beta(e^{j\omega})}{d\omega} = \frac{d\beta(e^{j\omega})}{d(e^{j\omega})} \cdot j \cdot e^{j\omega}$$



$$\tau_g(e^{j\omega}) = -\operatorname{Re} \left( z \frac{dH(z)}{dz} \frac{1}{H(z)} \right) \Big|_{z=e^{j\omega}}$$

1. močnostni odziv – najbolj pogost (90%)
2. močnostni odziv +  $\beta$
3. močnostni odziv +  $\tau_g$

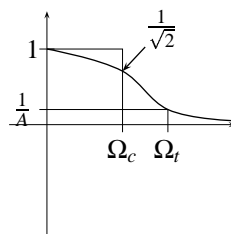
### 3.1 Načrtovanje z uporabo preslikave analognih filtrov

Tri najpogostejše vrste analognih filtrov:

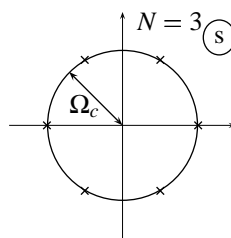
1. Butterworthovi filtri

$$|H_a(s)|^2 = \frac{1}{1 + \left( \frac{s}{j\Omega_c} \right)^{2N}}$$

$$N = \frac{\log_{10}(A^2 - 1)}{2 \log_{10} \frac{\Omega_t}{\Omega_c}}$$



- ima samo pole (nima ničel)
- monotonno padajoča funkcija
- poli so na krožnici s polmerom  $\Omega_c$



$$H(s) = \frac{\sum_{l=0}^M a_l s^{-l}}{1 + \sum_{l=1}^N b_l s^{-l}} \quad - \text{splošen analogen filter, } s = \text{Laplaceov operator}$$

## 2. Čebiševi filtri

Tip 1

$$|H_a(s)|^2 = \frac{1}{1 + \epsilon^2 T_N^2\left(\frac{s}{j\Omega_c}\right)}$$

$$T_N(x) = \begin{cases} \cos(N \cdot \arccos x) & \text{za } |x| \leq 1 \\ \cosh(N \cdot \text{Arch} x) & \text{za } |x| > 1 \end{cases}$$

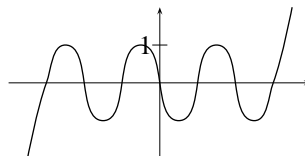
Čebiševi polinomi:

$$T_0(x) = 1$$

$$T_1(x) = x$$

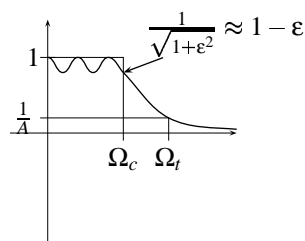
...

$$T_{N+1}(x) = 2xT_N(x) - T_{N-1}(x)$$



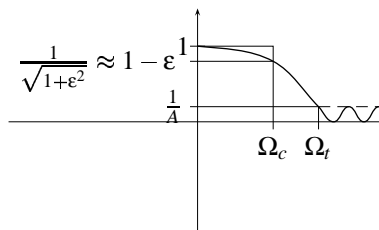
$$g = \sqrt{\frac{A^2 - 1}{\epsilon^2}}$$

$$N = \frac{\log_{10}\left(g + \sqrt{g^2 - 1}\right)}{\log_{10}\left(\frac{\Omega_t}{\Omega_c} + \sqrt{\left(\frac{\Omega_t}{\Omega_c}\right)^2 - 1}\right)}$$



Tip 2 (inverzni Čebišev filter)

$$|H_a(s)|^2 = \frac{1}{1 + \epsilon^2 \left(\frac{T_N\left(\frac{\Omega_T}{\Omega_c}\right)}{T_N\left(\frac{j\Omega_T}{s}\right)}\right)^2}$$



## 3. Cauerjevi ali eliptični filtri

$$|H_a(s)|^2 = \frac{1}{1 + \epsilon^2 R_N^2 \left( \frac{s}{j\Omega_c}; L \right)}$$

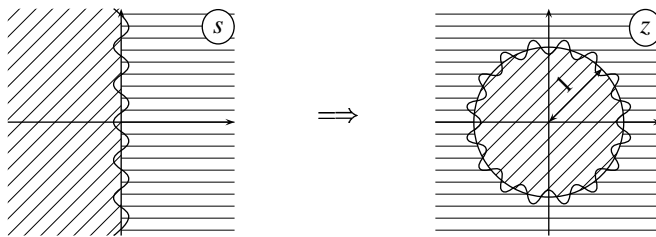
$R_N =$  Jacobijeva eliptična funkcija 1. vrste

Ta filter je vedno boljši od Čebiševih filtrov in veliko boljši od Butterworthovih filtrov.

### 3.2 Preslikava z bilinearno transformacijo

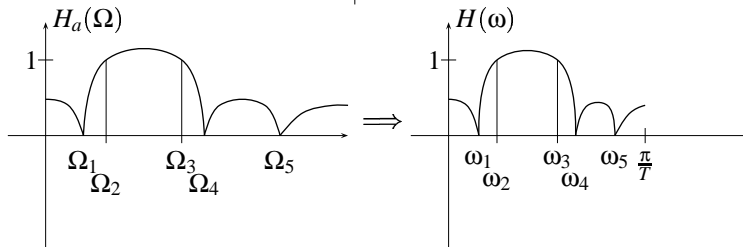
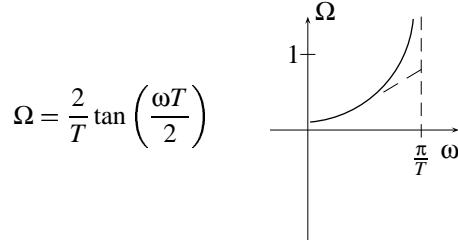
$$s = \frac{2}{T} \cdot \frac{1 - z^{-1}}{1 + z^{-1}}, \quad z = \frac{\frac{2}{T} + s}{\frac{2}{T} - s}$$

$$H(z) = H(s) \Big|_{s = \frac{2}{T} \cdot \frac{1 - z^{-1}}{1 + z^{-1}}}$$



Transformacija zagotavlja (ohranja) stabilnost.

Problem: pride do izkrivljenja (*warp*):



Rešitev: predizkrivljanje (*pre-warping*)

S pomočjo  $\Omega = \frac{2}{T} \tan \left( \frac{\omega T}{2} \right)$  preslikamo  $\omega_1, \omega_2, \dots$  v  $\Omega_1, \Omega_2, \dots$

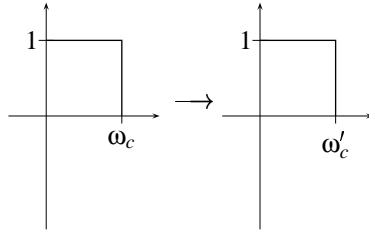
To je uspešno samo, če je želen potek odsekoma konstantna funkcija.

### 3.3 Filtrske transformacije

$$H(z') = H(z) \Big|_{z=f(z')}$$

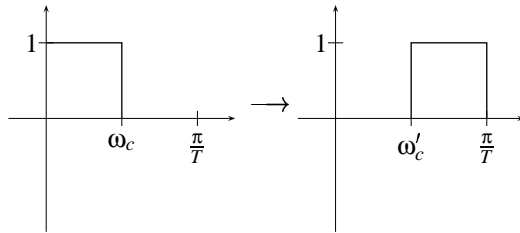
$f(z')$  je filtrska transformacija (Constantinidesove transformacije).

#### 1. LP $\rightarrow$ LP



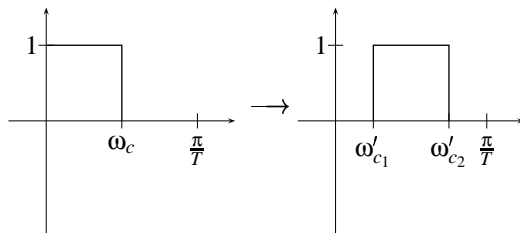
$$z = \frac{z' - \alpha}{1 - \alpha z'}, \quad \alpha = \frac{\sin\left(\frac{\omega_c - \omega'_c}{2} \cdot T\right)}{\sin\left(\frac{\omega_c + \omega'_c}{2} \cdot T\right)}$$

#### 2. LP $\rightarrow$ HP



$$z = -\frac{z' - \alpha}{1 - \alpha z'}, \quad \alpha = \frac{\cos\left(\frac{\omega_c - \omega'_c}{2} \cdot T\right)}{\cos\left(\frac{\omega_c + \omega'_c}{2} \cdot T\right)}$$

#### 3. LP $\rightarrow$ BP



$$z = -\frac{z'^2 - \frac{2\alpha k}{k+1}z' + \frac{k-1}{k+1}}{1 - \frac{2\alpha k}{k+1}z' + \frac{k-1}{k+1}z'^2}$$

$$\alpha = \frac{\cos\left(\frac{\omega'_{c2} + \omega'_{c1}}{2} \cdot T\right)}{\cos\left(\frac{\omega'_{c2} - \omega'_{c1}}{2} \cdot T\right)}$$

$$k = \tan\left(\frac{\omega_c T}{2}\right) \cdot \cot\left(\frac{\omega'_{c2} - \omega'_{c1}}{2} \cdot T\right)$$

### 3.4 Načrtovanje s Padejevo aproksimacijo

- aproksimacija racionalne funkcije s potenčno funkcijo

$$H(z) = \frac{\sum_{l=0}^M a_l z^{-l}}{1 + \sum_{l=1}^N b_l z^{-l}} = \sum_{k=0}^{\infty} h(k) z^{-k}$$

- iz želenega frekvenčnega poteka  $H_d(e^{j\omega})$  lahko vedno izračunamo  $h_d(k)$

- 

$$P = N + M + 1, \quad h(k) = h_d(k) \text{ za } k = 0, 1, \dots, P-1 \quad \leftarrow P \text{ enačb}$$

$$h(k) \neq h_d(k) \text{ za } k \geq P$$

$$y(n) = \sum_{l=0}^M a_l x(n-l) - \sum_{l=1}^N b_l y(n-l)$$

$$h(0) = a_0$$

$$h(1) = -b_1 h(0) + a_1$$

$$h(2) = -b_1 h(1) - b_2 h(0) + a_2$$

⋮

$$h(M) = -b_1 h(M-1) - b_2 h(M-2) - \dots - b_N h(M-N) + a_M$$

$$h(M+1) = -b_1 h(M) - b_2 h(M-1) - \dots - b_N h(M+1-N)$$

⋮

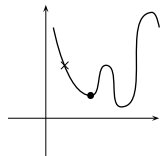
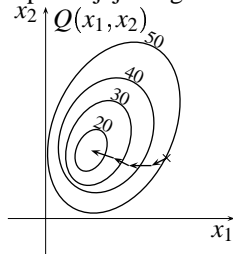
$$h(M+N+1) = -b_1 h(M+N) - b_2 h(M+N-1) - \dots - b_N h(M+1)$$

$$\left. \begin{array}{l} N \text{ neznank } b_1, b_2, \dots, b_N \\ M \text{ enačb} \end{array} \right\} \text{ izračunamo } b_l$$

nato izračunamo še  $a_l$

### 3.5 Načrtovanje z uporabo nelinearne optimizacije

Uporabljajo se gradientne metode; primer: Fletcher-Powell.



$$\text{grad } Q = \left( \frac{\partial Q}{\partial x_1}, \frac{\partial Q}{\partial x_2} \right)$$

$$H(z) = A \prod_{k=1}^K \frac{1 + a_k z^{-1} + b_k z^{-2}}{1 + c_k z^{-1} + d_k z^{-2}}$$



$$Q(\vec{\Theta}) = \sum_{l=1}^M (|H_d(e^{j\omega_l})| - |H(e^{j\omega_l})|)^{2p}$$

$$p \rightarrow \infty: \quad \max_{l=1,2,\dots,M} ||H_d(e^{j\omega_l})| - |H(e^{j\omega_l})|| \quad \leftarrow L_\infty \text{ norma}$$

Padejeva aproksimacija da začetno točko.

### 3.6 Načrtovanje z uporabo lineranega programiranja (*simplex algoritem*)

$$H(z) = \frac{\sum_{l=0}^M a_l z^{-l}}{1 + \sum_{l=1}^N b_l z^{-l}} = \frac{\sum_{l=0}^M a_l z^{-l}}{\sum_{l=0}^N b_l z^{-l}}, \quad b_0 = 1$$

$$|H(e^{j\omega})|^2 = H(z)H(z^{-1}) \Big|_{z=e^{j\omega}} = \frac{c_0 + 2 \sum_{l=1}^M c_l \cos \omega l}{d_0 + 2 \sum_{l=1}^N d_l \cos \omega l}$$

$$c_l = \sum_{k=0}^{M-l} a_k a_{k+l}, \quad d_l = \sum_{k=0}^{M-l} b_k b_{k+l}$$

pogoj:

$$\left| |H(e^{j\omega})|^2 - |H_d(e^{j\omega})|^2 \right| < \delta \quad \Rightarrow \quad \begin{cases} |H(e^{j\omega})|^2 - |H_d(e^{j\omega})|^2 - \delta \leq 0 \\ -|H(e^{j\omega})|^2 + |H_d(e^{j\omega})|^2 - \delta \leq 0 \end{cases}$$

problem: minimiziraj  $\delta$

pogoja:

problem: minimiziraj  $\delta$

$$\frac{c_0 + 2 \sum_{l=1}^M c_l \cos \omega l}{d_0 + 2 \sum_{l=1}^N d_l \cos \omega l} - |H_d(e^{j\omega})|^2 - \delta \leq 0 \quad \text{ne gre, ker se pojavijo produkti } \delta \cdot d$$

Drugače:  $\delta$  spremenimo v konstanto, vpeljemo  $\varepsilon$  in prevedemo na linearni problem.

problem: minimiziraj  $\varepsilon$

pogoj:

$$\left| \frac{c_0 + 2 \sum_{l=1}^M c_l \cos \omega l}{d_0 + 2 \sum_{l=1}^N d_l \cos \omega l} - |H_d(e^{j\omega})|^2 \right| \leq \delta - \frac{\varepsilon}{d_0 + 2 \sum_{l=1}^N d_l \cos \omega l}$$

Izberemo  $\delta$ ; če je  $\varepsilon > 0$ , potem rešitev za dani  $\delta$  obstaja. Ponavljamo, dokler ni  $\varepsilon \approx 0$ , kjer imamo optimalno rešitev.

Minimiziramo  $\varepsilon$  pri pogojih:

$$\varepsilon + c_0 + 2 \sum_{l=1}^M c_l \cos \omega l - \left( d_0 + 2 \sum_{l=1}^N d_l \cos \omega l \right) (|H_d(e^{j\omega})|^2 + \delta) \leq 0$$

$$\varepsilon - c_0 - 2 \sum_{l=1}^M c_l \cos \omega l + \left( d_0 + 2 \sum_{l=1}^N d_l \cos \omega l \right) (|H_d(e^{j\omega})|^2 - \delta) \leq 0$$

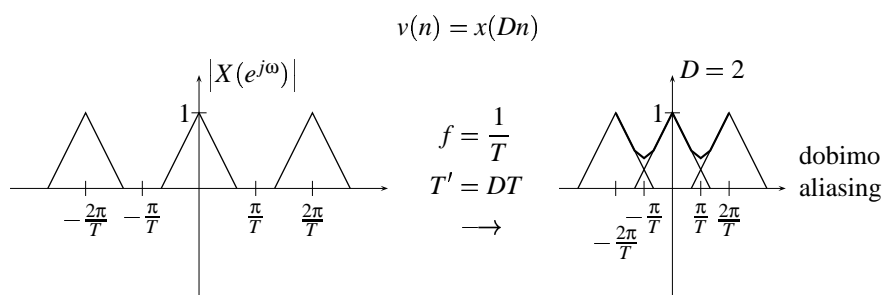
$$\left. \begin{aligned} -c_0 - 2 \sum_{l=1}^M c_l \cos \omega l &\leq 0 \\ -d_0 - 2 \sum_{l=1}^N d_l \cos \omega l &\leq 0 \end{aligned} \right\} \text{izhaja iz } |H(e^{j\omega})|^2 = \frac{c_0 + 2 \sum_{l=1}^M c_l \cos \omega l}{d_0 + 2 \sum_{l=1}^N d_l \cos \omega l}$$

## 4 Decimacija in interpolacija

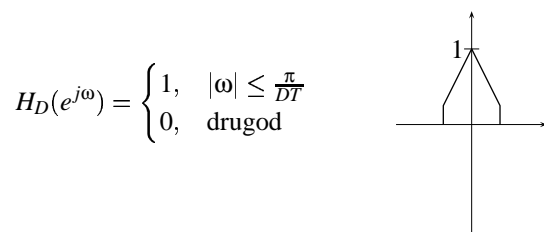
- decimacija (redčenje) je zmanjševanje vzorčevalne frekvence
- interpolacija je povečevanje vzorčevalne frekvence

### 4.1 Decimacija

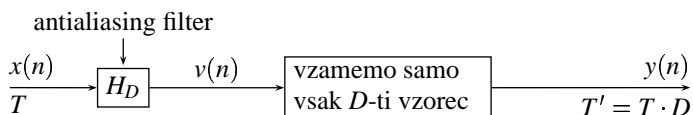
$x(n)$  – signal; frekvenco vzorčenja želimo zmanjšati za faktor  $D$ ,  $D \in \mathbb{N}$ .



Izhodišče: spekter ostane nespremenjen. Potrebujemo (antialiasing) decimacijski filter:



Recept:



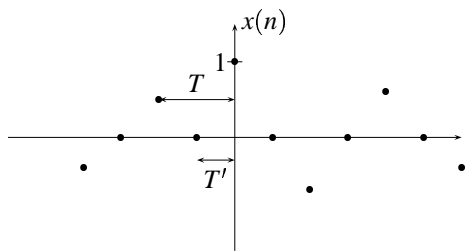
$$y(m) = v(mD) = \sum_{k=0}^{\infty} h_D(k)x(mD - k)$$

$$v(n) = \sum_{k=0}^{\infty} h_D(k)x(n - k)$$

### 4.2 Interpolacija

$x(n)$  – signal; frekvenco vzorčenja želimo povečati za faktor  $I$ ,  $I \in \mathbb{N}$ .

$$f = \frac{1}{T}, \quad T' = \frac{T}{I}$$



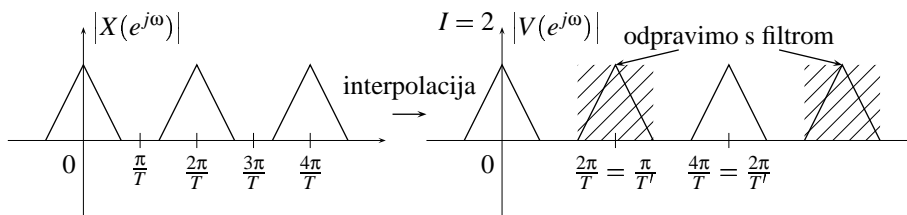
$$v(n) = \begin{cases} x\left(\frac{n}{I}\right) & \text{za } n = 0, \pm I, \pm 2I, \dots \\ 0 & \text{drugod} \end{cases}$$

Izhodišče: spekter ostane nespremenjen, signal mora biti tak, kot bi bil, če bi prvotni analogni signal vzorčili s  $T'$ .

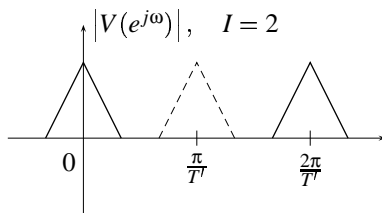
$$V(z) = \sum_{n=-\infty}^{+\infty} v(n)z^{-n} = \sum_{n=-\infty}^{+\infty} x(n)z^{-nI} = X(z^I)$$

$$T' = \frac{T}{I}$$

$$V(e^{j\omega}) = X(e^{j\omega I}) \Rightarrow V(e^{j\omega T'}) = X(e^{j\omega T' \cdot I}) = X(e^{j\omega T})$$

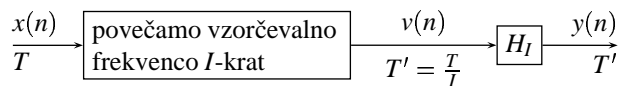


Če takoj vzorčimo analogni signal z novo frekvenco (brez interpolacije), dobimo:



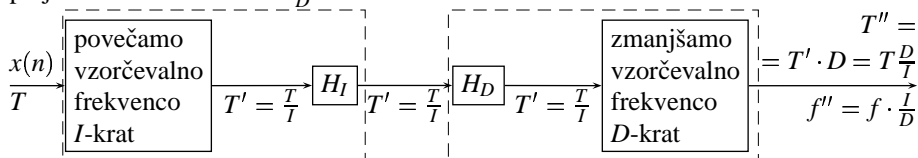
Potrebujemo interpolacijski filter:

$$H_I(e^{j\omega}) = \begin{cases} I, & |\omega| \leq \frac{\pi}{IT'} \\ 0, & \text{drugod} \end{cases}$$



$$y(n) = \sum_{k=0}^{\infty} h_I(k)v(n-k) = \sum_{k=-\infty}^{+\infty} h_I(n-k)v(k) = \sum_{k=-\infty}^{+\infty} h_I(n-kI)x(k)$$

Boljše je vzeti KEO filter, ker zmanjšamo število računskih operacij. S kombinacijo decimacije in interpolacije lahko spremenimo vzorčevalno frekvenco za poljuben racionalni faktor  $\frac{I}{D}$ :



$H_I$  in  $H_D$  združimo v en filter:

$$H = \begin{cases} I, & |\omega| \leq \left(\frac{\pi}{D}, \frac{\pi}{I}\right) \\ 0, & \text{drugod} \end{cases}$$

## 5 FFT algoritem in njegova uporaba

- Leta 1965 FFT ponovno odkrijeta Cooley in Tukey.
- FFT (*Fast Fourier Transform*) je algoritem za računanje DFT (diskretna Fourierjeva transformacija).

$$x_p(k + mN) = x_p(k), \quad m = 0, \pm 1, \pm 2, \dots$$

$$X_p(k) \stackrel{\text{def}}{=} \sum_{n=0}^{N-1} x_p(n) e^{-2\pi j k \frac{n}{N}}, \quad k = 0, 1, \dots, N-1$$

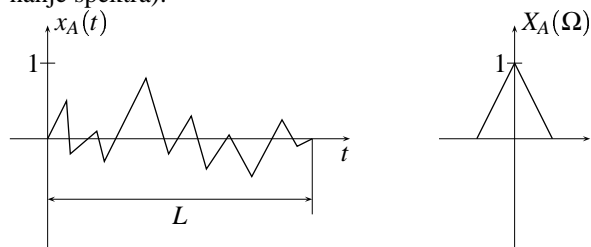
$$x_p(n) = \frac{1}{N} \sum_{k=0}^{N-1} X_p(k) e^{2\pi j k \frac{n}{N}}, \quad n = 0, 1, \dots, N-1$$

primitivni  $N$ -ti koren od 1:  $w_N = e^{-\frac{2\pi j}{N}}$ ,  $w_N^r \neq 1$  za  $0 < r < N$

$$\sum_{k=0}^{N-1} w_N^{km} w_N^{-kl} = \begin{cases} N, & n-l = 0 \pmod{N} \\ 0, & \text{drugod} \end{cases}$$

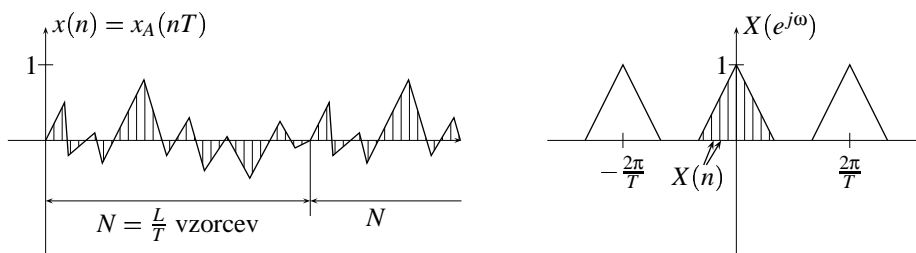
Zahtevnost DFT:  $N^2$  operacij.

Zveza med DFT in Fourierovim integralom (oz. kdaj smemo DFT uporabiti za računanje spektra):



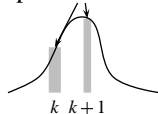
$$X_A(\Omega) = \int_{-\infty}^{+\infty} x_a(t) e^{-j\Omega t} dt$$

Predpostavka: ni aliasinga.



$$X(e^{j\omega}) = \sum_{n=0}^{N-1} x(n) e^{-j\omega n}$$

ploščina = 1



$$X_A(\Omega) = \int_0^L x_A(t) e^{-j\Omega t} dt = \sum_{k=0}^{N-1} \int_{kT}^{(k+1)T} x_A(t) e^{-j\Omega t} dt = \sum_{k=0}^{N-1} x_A(kT) e^{-j\Omega kT}$$

$$\text{DFT: } X(n) = \sum_{k=0}^{N-1} x(k) e^{-2\pi j k \frac{n}{N}}, \quad x(k) = x_A(kT)$$

$$X(n) = X_A(\Omega) \Big|_{\Omega = \frac{2\pi}{T} \cdot \frac{n}{N}}$$

FFT algoritmi:  $N^2 \rightarrow N \log N$ , dobro se dajo paralelizirati

- decimacija v času
- decimacija v frekvenci
- radix 2, 4, 8 in praštevilski ( $N = 2^n, 4^n, 8^n, p$ )
- Winogradov FFT algoritem – najboljši možen

## 5.1 Radix 2 algoritem, decimacija v času

$N = 2^n$ , razdelimo na sode ter lihe indekse, upoštevajoč  $w_N^2 = w_{N/2}$ :

$$\begin{aligned} X(l) &= \sum_{r=0}^{\frac{N}{2}-1} x(2r) w_N^{2rl} + \sum_{r=0}^{\frac{N}{2}-1} x(2r+1) w_N^{(2r+1)l} = \\ &= \sum_{r=0}^{\frac{N}{2}-1} x(2r) w_{N/2}^{rl} + w_N^l \sum_{r=0}^{\frac{N}{2}-1} x(2r+1) w_{N/2}^{rl} \end{aligned}$$

Dobimo par enačb, imenovan metuljček:

$$X(l) = G(l) + w_N^l F(l), \quad l = 0, 1, \dots, \frac{N}{2} - 1$$

$$X\left(l + \frac{N}{2}\right) = G(l) - w_N^l F(l), \quad l = 0, 1, \dots, \frac{N}{2} - 1$$

$F(l), G(l)$  – DFT dolžine  $\frac{N}{2}$ ; število operacij:  $2\left(\frac{N}{2}\right)^2 + \frac{N}{2}$

$$G(l) = \sum_{r=0}^{\frac{N}{2}-1} x(2r)w_{N/2}^{rl} = \underbrace{\sum_{r=0}^{\frac{N}{4}-1} x(4r)w_{N/4}^{rl}}_{A(l)} + w_{N/2}^l \underbrace{\sum_{r=0}^{\frac{N}{4}-1} x(4r+2)w_{N/4}^{rl}}_{B(l)} = A(l) + w_{N/2}^l B(l)$$

$$G(l) = A(l) + w_{N/2}^l B(l), \quad l = 0, 1, \dots, \frac{N}{4} - 1$$

$$G\left(l + \frac{N}{4}\right) = A(l) - w_{N/2}^l B(l), \quad l = 0, 1, \dots, \frac{N}{4} - 1$$

$$F(l) = \sum_{r=0}^{\frac{N}{2}-1} x(2r+1)w_{N/2}^{rl} = \sum_{r=0}^{\frac{N}{4}-1} x(4r+1)w_{N/4}^{rl} + w_{N/2}^l \sum_{r=0}^{\frac{N}{4}-1} x(4r+3)w_{N/4}^{rl} =$$

$$= C(l) + w_{N/2}^l D(l)$$

$$F(l) = C(l) + w_{N/2}^l D(l), \quad l = 0, 1, \dots, \frac{N}{4} - 1$$

$$F\left(l + \frac{N}{4}\right) = C(l) - w_{N/2}^l D(l), \quad l = 0, 1, \dots, \frac{N}{4} - 1$$

Število operacij:  $2\left(2 \cdot \left(\frac{N}{4}\right)^2 + \frac{N}{4}\right) + \frac{N}{2} = 4 \cdot \left(\frac{N}{4}\right)^2 + \frac{N}{2} + \frac{N}{2}$ .

Splošna formula za število operacij:  $\frac{N}{2} \log_2 N$ .

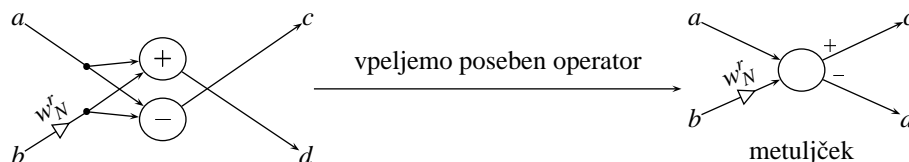
Od kod ime metuljček:

metuljček je par enačb

$$c = a + w_N^r b$$

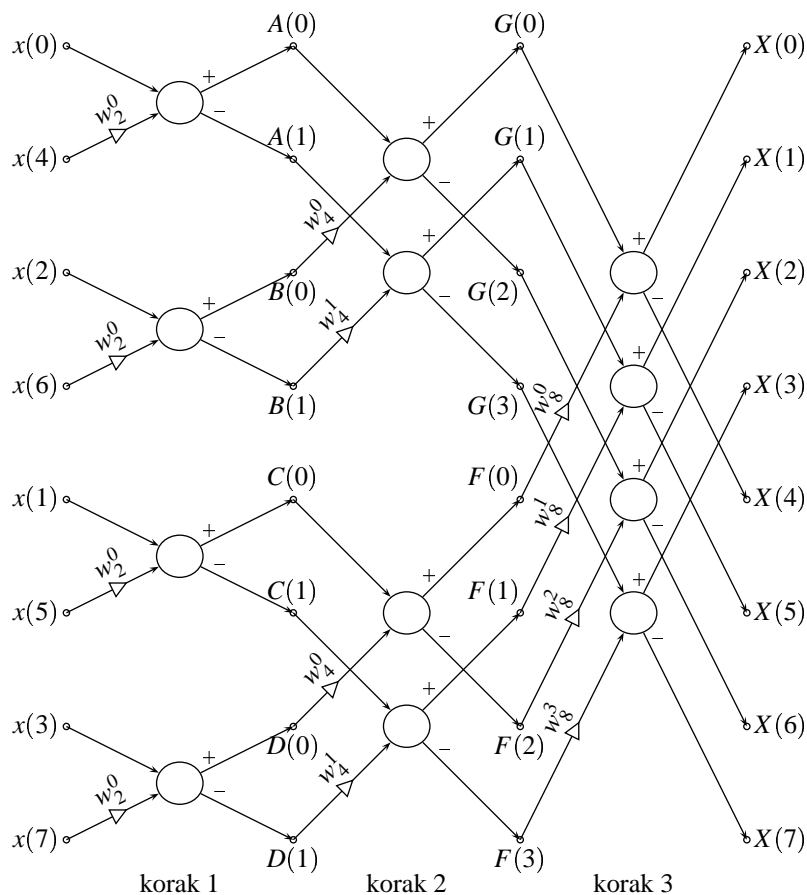
$$d = a - w_N^r b$$

vhodni podatki:  $a, b$



Uporablja se bit-reverzno mešanje indeksov (velja samo za radix-2 algoritem): index  $x(i)$ ;  $i = b_{n-1}b_{n-2} \dots b_1b_0 \rightarrow i = b_0b_1 \dots b_{n-2}b_{n-1}$

Primer za  $N = 8 = 2^3$ :



$n$  korakov, v vsakem koraku  $\frac{N}{2}$  metuljčkov.

## 5.2 Radix 4 algoritem

Približno 30% prihranek pri prehodu iz radix 2 na radix 4 algoritem.  
 $N = 4^n$ , razdelimo člene glede na ostanek pri deljenju s 4:

$$\begin{aligned}
 X(l) &= \sum_{r=0}^{\frac{N}{4}-1} x(4r)w_{N/4}^{rl} + w_N^l \sum_{r=0}^{\frac{N}{4}-1} x(4r+1)w_{N/4}^{rl} + \\
 &+ w_N^{2l} \sum_{r=0}^{\frac{N}{4}-1} x(4r+2)w_{N/4}^{rl} + w_N^{3l} \sum_{r=0}^{\frac{N}{4}-1} x(4r+3)w_{N/4}^{rl} = \\
 &= A(l) + w_N^l B(l) + w_N^{2l} C(l) + w_N^{3l} D(l)
 \end{aligned}$$

Upoštevamo zveze:

$$w_N^{N/4} = -j, \quad w_N^{N/2} = -1, \quad w_N^{3N/4} = j$$

$$\begin{aligned}
X(l) &= A(l) + w_N^l B(l) + w_N^{2l} C(l) + w_N^{3l} D(l) \\
X\left(l + \frac{N}{4}\right) &= A(l) - jw_N^l B(l) - w_N^{2l} C(l) + jw_N^{3l} D(l) \\
X\left(l + \frac{N}{2}\right) &= A(l) - w_N^l B(l) + w_N^{2l} C(l) - w_N^{3l} D(l) \\
X\left(l + \frac{3N}{4}\right) &= A(l) + jw_N^l B(l) - w_N^{2l} C(l) - jw_N^{3l} D(l)
\end{aligned}$$

Zahtevnost algoritma:  $3 \cdot \frac{N}{4} \log_4 N = \frac{3}{8} N \log_2 N$

### 5.3 Računanje inverzne DFT

$$\begin{aligned}
x(k) &= \frac{1}{N} \sum_{l=0}^{N-1} X(l) w_N^{-lk} \\
Nx^*(k) &= \sum_{l=0}^{N-1} X^*(l) w_N^{lk}
\end{aligned}$$

Trik:

$$x(k) = \frac{1}{N} \left( \sum_{l=0}^{N-1} X^*(l) w_N^{lk} \right)^*$$

### 5.4 Računanje DFT za realna zaporedja

$x(k)$  – realno zaporedje dolžine  $2N$ ; tvorimo kompleksno zaporedje dolžine  $N$ :

$$y(k) = x(2k) + jx(2k+1) = \underbrace{y_1(k)}_{\text{sodi}} + j \underbrace{y_2(k)}_{\text{lihi}}, \quad k = 0, 1, \dots, N-1$$

$$Y(l) = \sum_{k=0}^{N-1} y(k) w_N^{kl} = \sum_{k=0}^{N-1} (y_1(k) + jy_2(k)) w_N^{kl} = Y_1(l) + jY_2(l)$$

$$Y^*(N-l) = \sum_{k=0}^{N-1} y^*(k) w_N^{-(N-l)k} = \sum_{k=0}^{N-1} (y_1(k) - jy_2(k)) w_N^{kl} = Y_1(l) + jY_2(l)$$

$$Y_1(l) = \frac{1}{2} (Y^*(N-l) + Y(l))$$

$$Y_2(l) = \frac{j}{2} (Y^*(N-l) - Y(l))$$

DFT od realnega zaporedja  $x(k)$  dolžine  $2N$ :

$$\begin{aligned}
X(l) &= \sum_{k=0}^{2N-1} x(k) w_{2N}^{kl} = \sum_{k=0}^{N-1} x(2k) w_{2N}^{2lk} + \sum_{k=0}^{N-1} x(2k+1) w_{2N}^{2k+1} = \\
&\text{velja: } w_{2N}^2 = w_N \\
&= \sum_{k=0}^{N-1} x(2k) w_N^{kl} + w_{2N}^l \sum_{k=0}^{N-1} x(2k+1) w_N^{kl} = Y_1(l) + w_{2N}^l Y_2(l)
\end{aligned}$$



$$X(l) = \frac{1}{2} \left( Y^*(N-l) + Y(l) + jw_{2N}^l (Y^*(N-l) - Y(l)) \right), \quad l = 0, 1, \dots, N-1$$

$$X(l+N) = \frac{1}{2} \left( Y^*(N-l) + Y(l) - jw_N^l (Y^*(N-l) - Y(l)) \right), \quad l = 0, 1, \dots, N-1$$

Prihranek: namesto DFT dolžine  $2N$  potrebujemo DFT dolžine  $N$  ter  $N$  množenj. Za kompleksno zaporedje dolžine  $2N$ :

$$\frac{2N}{2} \log_2(2N) = N(1 + \log_2 N),$$

z upoštevanjem realnosti:

$$\frac{N}{2} \log_2 N + N$$

## 5.5 Hitro računanje konvolucije

### 5.5.1 Periodična zaporedja

Dani sta zaporedji  $x_p, h_p$

$$y_p(n) \stackrel{\text{def}}{=} \sum_{l=0}^{N-1} x_p(l)h_p(n-l) = \sum_{l=0}^{N-1} h_p(l)x_p(n-l)$$

Dokaz za zadnjo enačbo izpelji sam.

$$Y_p(l) = H_p(l)X_p(l), \quad l = 0, 1, \dots, N-1$$

$$H_p(l) = \sum_{k=0}^{N-1} h_p(k)w_N^{kl}$$

$$X_p(l) = \sum_{k=0}^{N-1} x_p(k)w_N^{kl}$$

DFT konvolucije = produkt DFT-jev

Hitro računanje konvolucije:

1. izračunamo DFT od  $x_p$  in  $h_p$ :  $2 \times \frac{N}{2} \log_2 N$  množenj
2. pomnožimo transformi  $H_p \cdot X_p$ :  $N$  množenj
3. izračunamo inverzno DFT od  $H_p X_p$ :  $\frac{N}{2} \log_2 N$  množenj

Zahtevnost:

$$3 \cdot \frac{N}{2} \log_2 N + N$$

### 5.5.2 Neperiodična zaporedja

$x(n)$  je zaporedje dolžine  $N_1$ :  $x(n) = 0$  za  $n \begin{cases} \geq N_1 \\ < 0 \end{cases}$

$h(n)$  je zaporedje dolžine  $N_2$ :  $h(n) = 0$  za  $n \begin{cases} \geq N_2 \\ < 0 \end{cases}$

$$y(n) = \sum_{l=0}^{\infty} h(l)x(n-l) = \sum_{l=0}^{\infty} h(l)x(n-l)$$

$y(n)$  je zaporedje dolžine  $N_1 + N_2 - 1$ :  $y(n) = 0$  za  $n \begin{cases} \geq N_1 + N_2 - 1 \\ < 0 \end{cases}$

Pri periodični konvoluciji imajo vsa tri zaporedja  $(x, h, y)$  enako periodo.

$$x_p(n) = \begin{cases} x(n) & \text{za } n = 0, 1, \dots, N_1 - 1 \\ 0 & \text{za } n = N_1, N_1 + 1, \dots, N_1 + N_2 - 2 \end{cases} \quad \begin{array}{l} \text{periodično zaporedje} \\ \text{s periodo } N_1 + N_2 - 1 \end{array}$$

$$h_p(n) = \begin{cases} h(n) & \text{za } n = 0, 1, \dots, N_2 - 1 \\ 0 & \text{za } n = N_2, N_2 + 1, \dots, N_2 + N_1 - 2 \end{cases} \quad \begin{array}{l} \text{periodično zaporedje} \\ \text{s periodo } N_1 + N_2 + 1 \end{array}$$

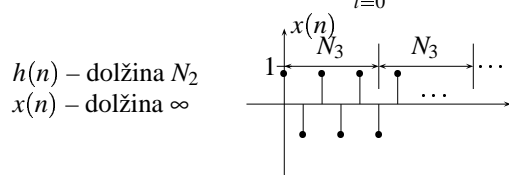
$$y_p(n) = \sum_{l=0}^{N_1+N_2-2} h_p(l)x_p(n-l) = \sum_{l=0}^n h(l)x(n-l) = y(n), \quad n = 0, 1, \dots, N_1 + N_2 - 2$$

Algoritem:

- izberemo število  $L$  ( $L = 2^n$ ) tako, da je  $L \geq N_1 + N_2 - 1$
- če je  $x(n)$  neskončno dolgo zaporedje, potem uporabimo trik: hitro konvolucijo po odsekih

### 5.5.3 Hitra konvolucija po odsekih

$$x(n) \longrightarrow \boxed{h(n)} \longrightarrow y(n) = \sum_{l=0}^{\infty} h(l)x(n-l) = \sum_{l=0}^{N_2-1} h(l)x(n-l)$$



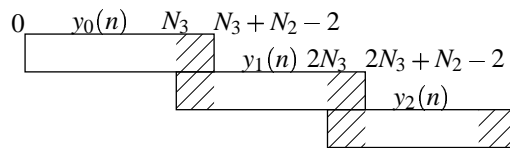
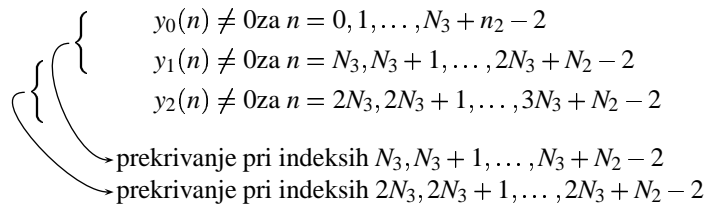
trik: izberemo število  $N_3$

$$x(n) = \sum_{k=0}^{\infty} x_k(n), \quad x_k(n) \stackrel{\text{def}}{=} \begin{cases} x(n) & kN_3 \leq n \leq (k+1)N_3 - 1 \\ 0 & \text{drugod} \end{cases}$$

$$\begin{aligned}
y(n) &= \sum_{l=0}^{\infty} h(l)x(n-l) = \sum_{l=0}^n h(l)x(n-l) = \sum_{l=0}^n h(l) \sum_{k=0}^{\infty} x_k(n-l) = \\
&= \sum_{k=0}^{\infty} \underbrace{\sum_{l=0}^n h(l)x_k(n-l)}_{y_k(n)} = \sum_{k=0}^{\infty} y_k(n)
\end{aligned}$$

odsek konvolucije

$$y_k(n) = \sum_{l=0}^n \underbrace{h(l)}_{N_2} \underbrace{x_k(n-l)}_{N_3}, \quad N_2 + N_3 - 1$$



Algoritem OVERLAP-ADD:

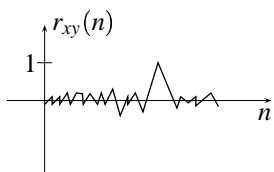
1. Izberemo  $N_3$  ( $L = N_3 + N_2 - 1 = 2^n$ )
2. Tvorimo  $h_p(n)$  dolžine  $L$  (dodamo  $N_3 - 1$  ničel)
3. Izračunamo DFT od  $h_p(n) \rightarrow H_p(l)$
4.  $k = 0$
5. Tvorimo  $x_{kp}(n)$  dolžine  $L$  (dodamo  $N_2 - 1$  ničel k  $x_k(n)$ )
6. Izračunamo DFT od  $x_{kp}(n) \rightarrow X_{kp}(l)$
7.  $Y_{kp}(l) = H_p \cdot X_{kp}(l), l = 0, 1, \dots, L - 1$
8. Izračunamo inverzno DFT – dobimo  $y_k(n)$  za  $n = kN_3, kN_3 + 1, \dots, kN_3 + N_2 - 1$
9. Tvorimo  $y(n)$ :
  - (a)  $k = 0$ :  $y(n) = y_k(n)$  za  $n = 0, 1, \dots, N_3 + N_2 - 2$
  - (b)
 
$$\begin{aligned}
k \geq 1 : y(n) &= y_k(n) + y(n) && \text{za } n = kN_3, kN_3 + 1, \dots, kN_3 + N_2 - 2 \\
y(n) &= y_k(n) && \text{za } n = kN_3 + N_2 - 1, kN_3 + N_2, \dots, (k + 1)N_3 + N_2 - 2
\end{aligned}$$
10.  $k = k + 1$

Večji  $L \rightarrow$  večja hitrost.

## 6 Križna korelacija in avtokorelacija

$$r_{xy}(n) \stackrel{\text{def}}{=} \sum_{l=-\infty}^{+\infty} x(l)y(l+n) = \sum_{l=-\infty}^{+\infty} x(l-n)y(l), \quad n = 0, \pm 1, \pm 2, \dots$$

$$r_{xy}(n) = r_{yx}(-n) \quad \leftarrow \text{ni komutativno!}$$



### 6.1 Avtokorelacija

$$r_{xx}(n) \stackrel{\text{def}}{=} \sum_{l=-\infty}^{+\infty} x(l)x(l+n)$$

$$r_{xx}(n) = r_{xx}(-n)$$

$$r_{xx}(0) \geq r_{xx}(n), \quad \text{za } n \neq 0$$

### 6.2 Hitro računanje korelacije

#### 6.2.1 Periodična zaporedja

$x_p(n), y_p(n)$  :

$$r_{pxy}(n) \stackrel{\text{def}}{=} \sum_{l=0}^{N-1} x_p(l)y_p(l+n), \quad n = 0, 1, \dots, N-1$$

$$\begin{aligned} R_{pxy}(k) &= \sum_{n=0}^{N-1} r_{pxy}(n)w_N^{kn} = \sum_{n=0}^{N-1} \sum_{l=0}^{N-1} x_p(l)y_p(l+n)w_N^{kn} = \\ &= \sum_{l=0}^{N-1} x_p(l)w_N^{-kl} \sum_{n=0}^{N-1} y_p(l+n)w_N^{k(l+n)} \end{aligned}$$

$$\begin{aligned} \sum_{n=0}^{N-1} y_p(l+n)w_N^{k(l+n)} &= \sum_{n=l}^{N-1+l} y_p(n)w_N^{kn} = \sum_{u=l}^{N-1} y_p(u)w_N^{ku} + \sum_{u=N}^{N-1+l} y_p(u)w_N^{ku} = \\ &\quad u' = u - N \\ &= \sum_{u=l}^{N-1} y_p(u)w_N^{ku} + \sum_{u'=0}^{l-1} y_p(u')w_N^{ku'} = \sum_{u=0}^{N-1} y_p(u)w_N^{ku} \end{aligned}$$

$$R_{pxy} = \sum_{l=0}^{N-1} x_p(l)w_N^{-kl} \sum_{u=0}^{N-1} y_p(u)w_N^{ku} = X_p(-k)Y_p(k)$$

$$R_{pxy}(k) = X_p(-k)Y_p(k) = X_p(N-k)Y_p(k)$$

Za realna zaporedja:  $R_{pxy}(k) = X_p^*(k)Y_p(k)$ , ker:  $X_p(-k) = X_p^*(k)$  za realna zaporedja  $x(n)$ .

Hitro računanje:

- izračunamo DFT od  $x_p, y_p$
- izračunamo  $R_{p_{xy}}(k) = X_p^*(k)Y_p(k)$
- izračunamo IDFT od  $R_{p_{xy}}(k) \rightarrow r_{p_{xy}}(n), \quad n = 0, 1, \dots, N-1$

### 6.2.2 Končno dolgi neperiodični zaporedji $x, y$

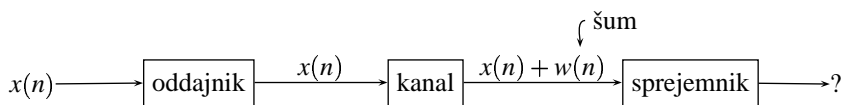
$x(n)$  dolžina  $N_1$   
 $y(n)$  dolžina  $N_2$   
 $r_{xy}(n)$  dolžina  $N_1 + N_2 - 1$

$$r_{xy}(n) = \sum_{l=-\infty}^{+\infty} x(l)y(l+n) = \sum_{l=0}^{N_2-1-n} x(l)y(l+n)$$

$$r_{xy}(n) = 0 \text{ za } \begin{cases} l+n < 0 & \Rightarrow n < -(N_1-1) \\ l+n > N_2-1 & \Rightarrow n > (N_2-1) \end{cases}$$

$r_{xy}(n) \neq 0$  v  $N_1 - 1 + N_2 - 1 + 1 = N_1 + N_2 - 1$  točkah

### 6.3 Detekcija signala v šumu

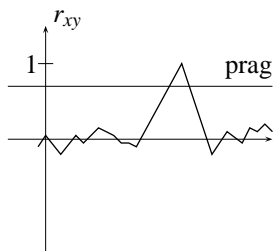


$$y(n) = x(n) + w(n)$$

$$r_{xy}(n) = \frac{1}{K} \sum_{l=0}^{K-1} x(l)y(l+n) = \frac{1}{K} \sum_{l=0}^{K-1} x(l)(x(l+n) + w(l+n)) = r_{xx}(n) + r_{xw}(n) \approx r_{xx}(n)$$

Ker:  $r_{xw}(n) \approx 0$ ; velja, če  $x(n)$  in  $w(n)$  nista korelirana (aditivni šum).

$$K \gg n$$



$$r_{yy}(n) = \frac{1}{K} \sum_{l=0}^{K-1} y(l)y(l+n) = \frac{1}{K} \sum_{l=0}^{K-1} (x(l) + w(n))(x(l+n) + w(l+n)) =$$

$$= r_{xx}(n) + r_{xw}(n) + r_{wx}(n) + r_{ww}(n)$$

↑ vrhovi pri  $n = 0, n = N, n = 2N, \dots$

## 7 Spektralna analiza

- Določanje močnostnega spektra

$$X_a(\omega) = \int_{-\infty}^{+\infty} x_a(t) e^{-j\omega t} dt$$

$$\int_{-\infty}^{+\infty} |x_a(t)|^2 dt = \frac{1}{2\pi} \int_{-\infty}^{+\infty} |X_a(\omega)|^2 d\omega \quad \text{– Parsevalov izrek}$$

- Spekter je Fourierov (harmonični) spekter, obstajajo tudi drugi spektri
- Nedeterministični signali: poznamo samo avtokorelacijo  $r_{xx}$ ,  $x_a$  pa ne:

$$r_{xx}(\tau) = \int_{-\infty}^{+\infty} x_a^*(t) x_a(t + \tau) dt$$

$$\begin{aligned} \int_{-\infty}^{+\infty} r_{xx}(\tau) e^{-j\omega\tau} d\tau &= \int_{-\infty}^{+\infty} \left( \int_{-\infty}^{+\infty} x_a^*(t) x_a(t + \tau) dt \right) e^{j\omega\tau} d\tau = \\ &= \int_{-\infty}^{+\infty} x_a^*(t) \left( \int_{-\infty}^{+\infty} x_a(t + \tau) e^{-j\omega(t + \tau)} d\tau \right) e^{j\omega t} dt = \\ &= \int_{-\infty}^{+\infty} x_a^*(t) X_a(\omega) e^{j\omega t} dt = X_a^*(\omega) X_a(\omega) = |X_a(\omega)|^2 \end{aligned}$$

Izhodišče:  $x_a(t)$  ali  $r_{xx}(\tau)$ .

Zaradi enostavnosti vzamemo  $x_a(t)$ .

$$X_a(\omega) = \int_{-\infty}^{+\infty} x_a(t) e^{-j\omega t} dt$$

$X_a(\omega)$  bomo določali na digitalni način.

$$x(n) \stackrel{\text{def}}{=} X_a(nT), \quad n = 0, \pm 1, \pm 2, \dots$$

Če ni aliasinga (najmanj  $2 \times$  višja frekvenca vzorčenja od največje frekvence signala)(antialiasing filter):

$$X(\omega T) = \sum_{n=-\infty}^{+\infty} x(n) e^{-j\omega T n} = \frac{q}{T} X_a(\omega), \quad |\omega| \leq \frac{\pi}{T}$$

$$\boxed{X_a(\omega) = T \cdot X(\omega T), \quad |\omega| \leq \frac{\pi}{T}}$$

Spekter lahko izračunamo na digitalen način, če ni aliasinga.

$$X(\omega) = \sum_{n=-\infty}^{+\infty} x(n)e^{-j\omega n}$$

Problem:  $n$  od  $-\infty$  do  $+\infty$ .

Rešitev: namesto neskončnega signala uporabimo končen del signala.

$$x_w(n) = x(n)w(n), \quad w(n) = \begin{cases} 1 & 0 \leq n \leq N-1 \\ 0 & \text{drugod} \end{cases} \quad \leftarrow \text{pravokotno okno}$$

$$X_w(\omega) = \frac{1}{2\pi} \int_0^{2\pi} X(\Theta)W(\omega - \Theta) d\Theta$$

$$W(\omega) = \sum_{n=0}^{N-1} w(n)e^{-j\omega n}$$

Namesto  $X(\omega)$  izračunamo  $X_w(\omega)$ .

Vprašanje:  $X_w(\omega) \approx X(\omega)$ ?  $\leftarrow$  Problem okna (*windowing problem*).

## 7.1 Problem okna

$$X(\omega) = \sum_{n=-\infty}^{+\infty} x(n)e^{-j\omega n}$$

$$x_w(n) = x(n)w(n)$$

okno dolžine  $N_w$

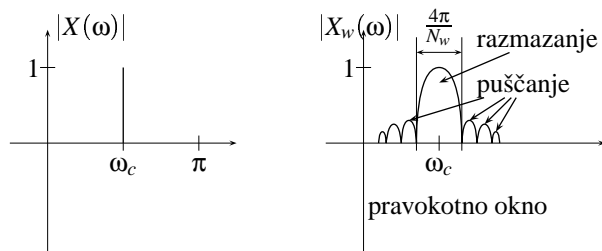
$$X_w(\omega) = \frac{1}{2\pi} \int_0^{2\pi} X(\Theta)W(\omega - \Theta) d\Theta$$

$$W(\omega) = \sum_{n=0}^{N_w-1} w(n)e^{-j\omega n}$$

$$\text{Pravokotno okno: } |W(\omega)| = \left| \frac{\sin \frac{\omega N_w}{2}}{\sin \frac{\omega}{2}} \right|$$

1. razmazanje (*spreading*)

2. puščanje (*leaking*)



Druge okna: Hann, Hamming, ...: zmanjša se puščanje, ampak se poveča razmazanje.

## 7.2 Neparometrične metode za določanje spektra

Uporaba Fourierove transformacije

računamo z DFT in FFT algoritmom

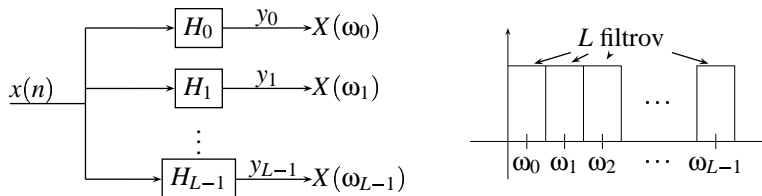
$$X_w(\omega) = \sum_{n=-\infty}^{+\infty} x(n)w(n)e^{-j\omega n} = \sum_{n=0}^{N_w-1} x(n)w(n)e^{-j\omega n}, \quad X_w(k) = \sum_{n=0}^{N_w-1} x(n)w(n)e^{-j\frac{2\pi nk}{N_w}}$$

Predpostavka:  $X(\omega) \approx X_w(\omega)$

Pri analognih (zveznih) signalih je še ena predpostavka:

$$X_a(\omega_k) \approx TX(k), \quad \omega_k = \frac{2\pi}{N_w} \cdot \frac{k}{T}, \quad k = 0, 1, \dots, N_w - 1 \quad \leftarrow \text{velja, če ni aliasinga}$$

Namesto DFT lahko uporabimo množico filtrov:



Kakšna je zveza med na ta način izmerjenim spektrom in tistim z DFT?  
DFT:

$$X_w(k) = \sum_{l=0}^{N_w-1} x(l)w(l)e^{-\frac{2\pi jkl}{N_w}}$$

Filtri:  $x(n) \rightarrow H_k \rightarrow y_k(n)$  (KEO filtri dolžine  $N_w$ )

$$y_k(n) = \sum_{l=0}^{N_w-1} x(l)h_k(n-l)$$

$$n = N_w - 1: \quad y_k(N_w - 1) = \sum_{l=0}^{N_w-1} x(l)h_k(N_w - 1 - l)$$

Da je enako: mora biti  $h_k(N_w - 1 - l) = w(l)e^{-\frac{2\pi jkl}{N_w}}$

$$H_k(\omega) = \sum_{n=0}^{N_w-1} h_k(n)e^{-j\omega n}$$

$$h_k(n) = w(N_w - 1 - n)e^{\frac{2\pi jk(n+1)}{N_w}}$$

$$H_k(\omega) = \sum_{n=0}^{N_w-1} h_k(n)e^{-j\omega n} = \sum_{n=0}^{N_w-1} w(N_w - 1 - n)e^{-jn(\omega - \frac{2\pi}{N_w}k)}e^{2\pi j\frac{k}{N_w}n} =$$

$$= e^{-j(N_w-1)\omega} \sum_{n=0}^{N_w-1} w(n)e^{-jn(\frac{2\pi k}{N_w} - \omega)}$$

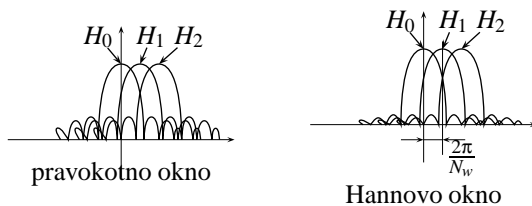


$$W(\omega) = \sum_{n=0}^{N_w-1} w(n) e^{-j\omega n}$$

$$H_k(\omega) = e^{-j(N_w-1)\omega} W\left(\frac{2\pi k}{N_w} - \omega\right)$$

Pri realnih oknih  $w(n)$ :  $|W(\omega)| = |W(-\omega)|$

$$|H_k(\omega)| = \left| W\left(\omega - \frac{2\pi}{N_w} \cdot k\right) \right|$$



Ugotovitev: DFT je množica KEO filtrov, katerih frekvenčni odziv je enak odzivu okna ( $W(\omega)$ ).

razmazanje  $\leftarrow$  širina filtra

puščanje  $\leftarrow$  slab filter, s prisluhom

### 7.3 Parametrične metode za določanje spektra

Model procesa, ki generira signal:

$$u(n) \rightarrow \boxed{H(z)} \rightarrow x(n)$$

$$X(\omega) = H(\omega) \cdot U(\omega)$$

- če poznamo parametre od  $H(z) \Rightarrow$  poznamo spekter
- določevanje parametrov  $\Leftrightarrow$  določevanje spektra

$$H(z) = \frac{\sum_{l=0}^q a_l z^{-l}}{1 + \sum_{l=1}^p b_l z^{-l}}$$

$$x(n) = \sum_{l=0}^q a_l u(n-l) - \sum_{l=1}^p b_l x(n-l)$$

1. pri danem zaporedju  $x(n)$ ,  $n = 0, 1, \dots, N_w - 1$  izračunamo parametre  $a_l, b_l$
2. iz parametrov  $a_l, b_l$  izračunamo  $H(\omega)$  in naredimo predpostavko  $X(\omega) = H(\omega) (\cdot c) \leftarrow$  konstanta

Poseben primer modela je model s samimi poli:

$$H(z) = \frac{a_0}{1 - \sum_{l=1}^p b_l z^{-l}}$$

Druga imena za ta model:

1. linearna predikcija
2. avtoregresivni model

Ta model ustreza enačbi

$$x(n) = \underbrace{\sum_{l=1}^p b_l x(n-l)}_{\tilde{x}(n)} + a_0 u(n)$$

$$\tilde{x}(n) = \sum_{l=1}^p b_l x(n-l)$$

linearna predikcija ali avtoregresijska metoda

$$x(n) = \tilde{x}(n) + \underbrace{a_0 u(n)}_{\text{lahko damo } 0}$$

$$e(n) = x(n) - \tilde{x}(n) \quad - \text{ napaka}$$

$$E = \sum_{n=0}^{L-1} e^2(n), \quad \min_{\{b_1, b_2, \dots, b_p\}} E; \quad \text{optimizacijski postopek:}$$

$$E = \sum_{n=0}^{L-1} (x(n) - \tilde{x}(n))^2 = \sum_{n=0}^{L-1} \left( x(n) - \sum_{l=1}^p b_l x(n-l) \right)^2$$

$$\frac{\partial E}{\partial b_l} = 0, \quad l = 1, 2, \dots, p$$

p enačb:  $\sum_{n=0}^{L-1} x(n)x(n-l) = \sum_{i=1}^p b_i \sum_{n=0}^{L-1} x(n-i)x(n-l), \quad l = 1, 2, \dots, p$

Vprašanje: koliko je  $L$ ?

1. avtokorelacijska metoda (LP (linearno-prediktivni) oz. AR (avtoregresijski) spekter)

- postopamo podobno, kot pri neparometrični metodi
- $x(n) = \begin{cases} 0 & \text{za } n \geq N_w \text{ in } n < 0 \text{ (okno dolžine } N_w) \\ \neq 0 & \text{za } 0 < n \leq N_w - 1 \end{cases}$
- $e(n) \neq 0$  za  $n = 0, 1, \dots, N_w - 1, N_w, \dots, N_w + p - 1 \Rightarrow L = N_w + p$
- potrebno je uporabiti okensko funkcijo (Hann, Hamming,...)

$$\sum_{n=0}^{N_w+p-1} x(n)x(n-l) = \sum_{i=1}^p b_i \sum_{n=0}^{N_w+p-1} x(n-i)x(n-l), \quad l = 1, 2, \dots, p$$

$$r_{xx}(l) = \sum_{n=-\infty}^{+\infty} x(n)x(n+l) = \sum_{n=0}^{N_w-1-l} x(n)x(n+l) = \sum_{n=0}^{N_w-1} x(n)x(n-l) = \sum_{n=0}^{N_w+p-1} x(n)x(n-l)$$

$$r_{xx}(|i-l|) = \sum_{n=-\infty}^{+\infty} x(n-i)x(n-l) = \sum_{n=0}^{N_w+p-1} x(n-i)x(n-l)$$

$$\boxed{r_{xx}(l) = \sum_{i=1}^p b_i r_{xx}(|i-l|), \quad l = 1, 2, \dots, p} \quad \leftarrow \text{Toeplitz matrika}$$

Obstaja zelo enostaven algoritem za računanje  $b_1, b_2, \dots, b_p$

2. kovariančna metoda (velja za LP oz. AR spekter) – bolj zapletena od prejšnje

- ne predpostavljamo, da je  $x(n) = 0$  izven okna!
- množenje z okensko funkcijo ni potrebno

$N_w$  vzorcev od  $x(n)$

$$L = N_w$$

- pri računanju so potrebne vrednosti  $x(n)$  za  $n = -p, -p+1, \dots, 0, 1, \dots, N_w-1$

$$\Phi(i, l) = \sum_{n=0}^{N_w-1} x(n-i)x(n-l) = \sum_{n=-i}^{N_w-i-1} x(n)x(n+l-i) = \sum_{n=-l}^{N_w-l-1} x(n)x(n+l-i)$$

$$\boxed{\Phi(0, l) = \sum_{i=1}^p b_i \Phi(i, l), \quad l = 1, 2, \dots, p} \quad \text{simetrična matrika (ni Toeplitzova)}$$

$$E = \sum_{n=0}^{L-1} e^2(n) = a_0 \sum_{n=0}^{L-1} u^2(n) \Rightarrow \boxed{a_0 = \sqrt{E}}$$

Vedno lahko izberemo vzbujanje, da velja:  $\sum_{n=0}^{L-1} u^2(n) = 1$

$$X(\omega) = H(\omega)U(\omega)$$

$$U(\omega) = 1$$

$$X(\omega) = H(\omega)$$

## 7.4 Primerjava LP spektra z neparametričnim spektrom

$$E = \sum_{n=0}^{L-1} e(n)^2 = \sum_{n=0}^{L-1} \left( x(n) - \sum_{l=1}^p b_l x(n-l) \right)^2$$

Parsevalov izrek

$$E = \frac{1}{2\pi} \int_0^{2\pi} |X_w(\omega)|^2 \left| 1 - \sum_{l=1}^p b_l e^{-j\omega l} \right|^2 d\omega$$

$$X_w(\omega) = \sum_{n=0}^{L-1} x(n) e^{-j\omega n}$$

Pomeni okno dolžine L

$$|H(\omega)|^2 = \frac{a_0^2}{\left| 1 - \sum_{l=1}^p b_l e^{-j\omega l} \right|^2}$$

$$E = \frac{a_0}{2\pi} \int_0^{2\pi} \frac{|X_w(\omega)|^2}{|H(\omega)|^2} d\omega \quad p \rightarrow \infty : H(\omega) \rightarrow X_w(\omega)$$

$H(\omega)$  dobimo z minimizacijo  $E$ .

Z minimizacijo  $E$  povzročimo, da sta  $X_w$  in  $H$  zelo podobna v "vrhovih" spektra, manj podobna sta v "dolinah" spektra.

